

Міністерство освіти і науки України
Національний університет
«Полтавська політехніка імені Юрія Кондратюка»
Навчально-науковий інститут нафти і газу
Кафедра теплогазопостачання, вентиляції та теплоенергетики

Пояснювальна записка

до кваліфікаційної роботи
магістра

на тему: «Підвищення ефективності установки для синтезу газових гідратів»

Виконав: студент гр. 601-НТ

спеціальності 144 Теплоенергетика

"__" _____ 2025 р. _____ Темченко О. С.
Керівник

"__" _____ 2025 р. _____ Кутний Б. А.

Допустити до захисту:

завідувач кафедри "Теплогазопостачання,
вентиляції та теплоенергетики" _____

к.т.н., проф. Голік Ю.С.
"__" _____ 2025 р.

Полтава - 2025 р.

АНОТАЦІЯ

Магістерська робота присвячена дослідженню процесів синтезу газових гідратів. Вдосконалено лабораторну установку для синтезу шляхом доповнення її засобами для вимірювання двох потоків різних газів, системою змішування цих газів та засобами для приєднання балонів з газом.

Розроблено математичну модель гідродинамічних процесів у насадці та застосовано її для аналізу процесів гідратоутворення. Проаналізовано вплив термобаричних особливостей насадки на ефективність гідратоутворення та розроблено заходи для оптимізації режимів роботи насадки.

Проведено теоретичні дослідження можливості застосування газових сумішей, які складаються з газу-гідратоутворювача і газу-холодоносія. Встановлено термобаричні умови скраплення газу-холодоагенту на виході з насадки в реакторі. Теоретично обґрунтовано можливість застосування газів, які не утворюють газових гідратів, у суміші з газом-гідратоутворювачем для інтенсифікації процесу синтезу газогідрату.

Проведено експериментальні дослідження з такими газами, як пропан та тетрафторетан (R134a), котрі показали, що обидва газу є гідратоутворювачами і одночасно конкурентами, оскільки займають одні й ті ж «великі» стільники в газогідраті. Встановлено, що усі інші газу, які можуть виступати у ролі холодоагентів для пропану, також є гідратоутворювачами. Отримано дані про термобаричні умови існування гідрату тетрафторетану при температурах вище $+5^{\circ}\text{C}$. Встановлено умови, при яких гідрат цього газу утворюється практично миттєво і з ефективністю близькою до 100%.

Проведено ряд досліджень, присвячених синтезу гідрату на поверхні льоду. Встановлено, що існує досить вузька область термобаричних умов, у межах якої швидкість синтезу гідрату на поверхні льоду різко збільшується.

Результати даної роботи можуть бути застосовані для вдосконалення обладнання для синтезу газових гідратів у промислових масштабах.

Ключові слова: газові гідрати, синтез, підвищення ефективності, газова суміш, дослідна установка, математична модель, термобаричні умови, тепломасообмін.

ЗМІСТ

ВСТУП	4
ЗАГАЛЬНА ХАРАКТЕРИСТИКА РОБОТИ	6
1. АНАЛІЗ ЛІТЕРАТУРНИХ ДЖЕРЕЛ.....	8
1.1. Перспективи застосування газових гідратів	8
1.2. Вплив факторів.....	10
1.3. Засоби інтенсифікації синтезу газових гідратів.....	13
1.4. Мета і завдання дослідження.....	18
2. ТЕОРЕТИЧНЕ ОБґРУНТУВАННЯ СИНТЕЗУ ГАЗОВИХ ГІДРАТІВ ІЗ ГАЗОВИХ СУМІШЕЙ.....	19
2.1. Визначення складу газової суміші	19
2.2. Математична модель гідродинамічних процесів в насадці	24
2.3. Результати розрахунків газових сумішей різної концентрації.....	32
3. ЕКСПЕРИМЕНТИ З СИНТЕЗУ ГАЗОГІДРАТУ ПРОПАНУ	36
3.1. Розробка установки для синтезу газових гідратів	36
3.2. Методика тарування U-подібного дифманометра для стиснених газів	45
3.3. Методика експериментальних досліджень	51
3.4. Результати експериментальних досліджень.....	74
4. ВИСНОВКИ.....	79
СПИСОК ВИКОРИСТАНИХ ДЖЕРЕЛ.....	81
ДОДАТКИ.....	86

						601-НТ.11393307.МР		
<i>Зм.</i>	<i>Кільк.</i>	<i>Арк.</i>	<i>Підпис</i>	<i>Дата</i>				
<i>Розробив</i>	<i>Темченко О. С.</i>				Підвищення ефективності установки для синтезу газових гідратів	<i>Стадія</i>	<i>Арк.</i>	<i>Аркушів</i>
<i>Перевірів</i>	<i>Кутний Б. А.</i>						3	92
<i>Зав. Каф.</i>	<i>Голік Ю.С.</i>					НУ«ПП ім. Ю.Кондратюка»		
<i>Н. контр</i>								

гідрату пропану. **Перспективами даної роботи є** інтенсифікація гідратуутворення метан-холодоагентних сумішей для широкого застосування в галузях зберігання, транспортування та використання газового палива там де не вигідно застосовувати дорогі ємності високого тиску та будівництво газопроводів.

						<i>601-НТ.11393307.МР</i>	Арк.
<i>Зм.</i>	<i>Лист</i>	<i>Арк.</i>	<i>№ док.</i>	<i>Підпис</i>	<i>Дата</i>		5

ЗАГАЛЬНА ХАРАКТЕРИСТИКА РОБОТИ

Актуальність роботи. Промисловий синтез газових гідратів є основою багатьох газогідратних технологій: транспортування газу в гідратній формі різними видами транспорту, зберігання великих обсягів газу, у тому числі для вирівнювання нерівномірності споживання енергетичними об'єктами України, утилізація шахтного метану, опріснення води, акумулювання теплоти, тощо. Дана робота присвячена створенню методики промислового синтезу газогідрату, зокрема із застосуванням газових сумішей.

Мета і завдання досліджень. Метою роботи є інтенсифікація та підвищення ККД синтезу газових гідратів за допомогою застосування бінарних газових сумішей, що складаються з газу-гідратоутворювача та холодоагенту. Для досягнення поставленої мети необхідно вирішити ряд задач:

- побудувати експериментально-дослідну установку синтезу ГГ;
- визначити оптимальні термобаричні умови та склад газової суміші для гідратоутворення;
- провести серію експериментальних досліджень для підтвердження теоретичних розробок.

Об'єкт досліджень – тепломасообмінні процеси, що супроводжуються гідратоутворенням і відбуваються на поверхні мікробульбашок із газовою сумішшю.

Предметом досліджень є пошук оптимальних термобаричних умов та концентрацій газової суміші для інтенсифікації синтезу газових гідратів.

Методи досліджень. При виконанні роботи застосовано як експериментальні методи з прямим вимірюванням витрат газу, часу, температури газу та водного середовища усередині реактора, зняття на відео процесу гідратоутворення в реакторі, так і непрямі методи вимірювання витрат газів за допомогою тарованого U-подібного дифманометра. Також широко застосовано методи математичного моделювання теплових та

									Арк.
									6
Зм.	Лист	Арк.	№ док.	Підпис	Дата	601-НТ.11393307.МР			

гідродинамічних процесів для визначення швидкості руху, температури та складу газорідинної суміші в насадці.

Наукова новизна отриманих результатів. Науковою новизною роботи є результати експериментальних та теоретичних досліджень кінетики синтезу газових гідратів у мікробульбашках, які заповнені газовою сумішшю газу-гідратоутворювача та холодоагента, причому холодоагент перебуває в бульбашці у частково скрапленому стані.

Практичне значення роботи. Отримані результати дозволяють оптимізувати конструкцію установки для синтезу газових гідратів. Зокрема результати, отримані для синтезу гідрату пропану можуть бути застосовані для синтезу гідрату метану.

						<i>601-НТ.11393307.МР</i>	Арк.
Зм.	Лист	Арк.	№ док.	Підпис	Дата		7

1 АНАЛІЗ ЛІТЕРАТУРНИХ ДЖЕРЕЛ

1.1. Перспективи застосування газових гідратів

Попередні дослідження процесів гідратоутворення показують що на інтенсивність масообмінних процесів синтезу газових гідратів впливають різноманітні фактори, головними з яких є: термобаричні умови в реакторі, склад газової суміші, спосіб створення поверхні контакту фаз, площа поверхні контакту фаз та відбір теплоти екзотермічної реакції гідратоутворення.

Власне термобаричні умови гідратоутворення окремо взятого газу або суміші вуглеводневих газів та газів-гідратоутворювачів відомі.

Вплив складу газової суміші активно аналізується багатьма авторами. Фізичний механізм цього впливу ґрунтується на різних розмірах клатратних порожнин у складі газогідрату та їх зайнятості молекулами гідратоутворювачами. Чим більша частка порожнин зайнята гідратоутворюючими газами тим стійкішим є газогідрат. Саме тому газова суміш підбирається з різного розміру молекул таким чином щоб якнайповніше заповнити усі види порожнин у газогідраті.

Аналіз роботи різноманітних реакторів для синтезу газових гідратів з погляду промислового застосування можна виділити дві базових конструкції: крапельна та барботажна. Синтез ГГ на поверхні крапель рідини розглянуто в різних роботах, зокрема [10]. Як показують теоретичні та експериментальні дослідження в отриманому таким способом ГГ багато води. Така технологія потребує або спеціальних заходів з її видалення або тривалого часу «витримки» газогідрату під високим надлишковим тиском для того, аби ця вода вступила в реакцію гідратоутворення.

У барботажних апаратах синтез газових гідратів відбувається на поверхні бульбашок газу у воді (часто з різноманітними добавками). Теоретичні та експериментальні дослідження масообмінних процесів гідратоутворення наведені в роботах [11-12]. Основною проблемою є те, що

						601-НТ.11393307.МР	Арк.
Зм.	Лист	Арк.	№ док.	Підпис	Дата		8

навіть в ідеальних термобаричних умовах лише частина газу вступає у реакцію з утворенням газогідрату. Зниження температури води та температури газу призводить до обмерзання насадки і тому є малоефективним. Аналіз отриманих даних дозволяє встановити причину – недостатнє охолодження міжфазної поверхні, де відбувається синтез газових гідратів. Причому відбір теплоти реакції має бути саме на міжфазній поверхні, де і відбувається гідратоутворення.

Від площі міжфазної поверхні напряму залежить швидкість синтезу газогідрату. Збільшення площі міжфазної поверхні в крапельних апаратах досягається дрібнішим розпиленням крапель рідини. У барботажних апаратах таким засобом є спосіб створення мікробульбашок. Експериментальні дані [13] показують, що їх застосування дозволяє підвищити ефективність синтезу ГГ пропану з 3-4% до 10-12%. Проте, для промислового застосування це усе одно мало.

Під час синтезу газових гідратів виділяється значна кількість теплоти. Якщо її не відводити, то температура міжфазної поверхні підвищується і реакція синтезу сповільнюється. У барботажних реакторах теплоту гідратоутворення потрібно відводити з поверхні кожної бульбашки. Оптимальним способом для вирішення цього завдання є випаровування скрапленого газу всередині бульбашки. Проте для метану такий спосіб не підходить бо він скраплюється при занадто низьких температурах. Саме тому виникла гіпотеза застосувати у якості холодоагенту додатковий газ який не утворює газових гідратів. Для експериментальних досліджень в умовах невеликих надлишкових тисків замість метану можна застосувати газоподібний пропан.

Також при застосуванні газових сумішей типу гідратоутворюючий – негідратоутворюючий газ виникає недосліджене питання оптимізації ефективності гідратоутворення при різних термобаричних умовах та концентраціях газів.

						<i>601-НТ.11393307.МР</i>	Арк.
Зм.	Лист	Арк.	№ док.	Підпис	Дата		9

1.2. Вплив факторів

Відомо, що зменшення розміру бульбашок призводить до значної інтенсифікації тепло- і масообмінних процесів в установках барботажного типу [14]. Теоретичні та експериментальні дослідження масообмінних процесів при синтезі гідрату пропану в барботажній установці наведені в роботах [15, 16]. Тут і далі під ефективністю процесу гідратування будемо розуміти співвідношення реагенту (наприклад газу, води), який вступив у реакцію гідратування, до кількості підведеного реагенту в реактор за відсутності рециркуляції. Зокрема, у даній установці для бульбашок пропану діаметром 5 мм отримана ефективність близько 3%, що у перерахунку на метан дасть приблизно 6%.

Результати теоретичних розрахунків для синтезу газових гідратів на поверхні крапель води в газовому середовищі [17] показують, що головними шляхами інтенсифікації синтезу газових гідратів є: отримання дрібнішого аерозолу, підтримання температури газу на рівні 0 °С та підвищення тиску газу. Якщо об'єднати разом вплив наведених факторів, отримаємо рівняння для визначення відносного об'єму синтезованого ГГ

$$\bar{V}_{gg} = \frac{V_{gg}}{V_w} = \frac{\tau^{0,6} \sigma^{0,4869}}{D^{0,941}} (728,2P - 1655) \quad (1.1)$$

де V_{gg} – об'єм синтезованого ГГ, м³; V_w – об'єм води використаної для отримання ГГ, м³; τ – час, с; σ – газопроникність ГГ, м²/с; D – розмір крапель, мм; P – тиск газу, МПа.

З урахуванням усіх факторів, згідно з (1.1), для крапель води з середнім діаметром 0,1 мм розпилених у середовищі метану за 1 секунду при тиску 4 МПа можна отримати не менше 0,16 м³ гідрату метану з кожного м³ води. Проте для розпилення води необхідно витратити додаткову енергію.

Результати експериментальних досліджень синтезу газових гідратів метану на поверхні крапель води в дослідно-промисловому реакторі об'ємом 0,248 м³ наведено в [18]. Автори відмічають велику роль у отриманні газових гідратів: розміру крапель води, якості розпилення, форми форсунок,

						601-НТ.11393307.МР	Арк.
Зм.	Лист	Арк.	№ док.	Підпис	Дата		10

гідратуутворення (0,1-3,8 МПа) та підвищує температуру утворення (287,2-299,5 К).

У роботі [24] запропонована установка для дослідження швидкості гідратуутворення на поверхні β -циклодекстрину. Встановлено, що застосування циклодекстрину дозволяє приблизно втричі збільшити швидкість утворення гідрату метану. Проте процес гідратуутворення триває близько 20 хвилин.

Результати досліджень гідратуутворення метану з водним розчином 1,3-диоксолану (ДИОКС) наведено в роботі [25]. ДИОКС має таку ж розчинність у воді як і ТГФ, проте не такий леткий і токсичний. Авторами досліджувався синтез гідрату метану в реакторі без перемішування при тиску 7,2 МПа і температурі 283,15 К. Експериментальні дані показали, що за 1,5 години в реакцію вступило 90% метану. Також авторами встановлено, що додавання L-триптофану (гідрофобна амінокислота) прискорює синтез гідратів ще на 147%.

Застосування матеріалів на основі графена для прискорення синтезу газових гідратів проаналізовано в роботі [26]. Графенові активатори мають два основних механізми впливу на синтез газових гідратів. Першим є висока теплопровідність, яка дозволяє ефективно відводити теплоти із зони реакції. Другим механізмом є збільшення кількості зародкових наноструктур, на основі яких будуються кристали газових гідратів. Результати експериментів із різними видами графенових матеріалів доводять можливість зменшення часу гідратуутворення на 96% порівняно з чистою водою. Також на 7,6% збільшується газовміст синтетичного газогідрату. Основною проблемою застосування графенових матеріалів є їх погана диспергація у воді.

Аналіз літературних джерел показує, що більшість досліджень зосереджені на підвищенні інтенсивності гідратуутворення в реакторах стаціонарного типу, які мають періодичний режим роботи. Проте, для синтезу газових гідратів у промислових масштабах більше придатні потокові апарати, в яких гідратуутворення триває безперервно. Питання підвищення

ефективності процесу гідратуутворення в потокових апаратах потребує додаткових досліджень.

1.3. Засоби інтенсифікації синтезу газових гідратів

Грунтуючись на відомих дослідженнях різних авторів, роботи яких присвячені питанню інтенсифікації синтезу газових гідратів [1-20], можна виділити декілька найбільш характерних засобів впливу на швидкість гідратуутворення.

Термобаричні умови в реакторі. Тиск газу і температура води в реакторі відіграють без сумніву важливу роль у процесі гідратуутворення. Це питання досліджено досить докладно, наслідком чого є Р-Т діаграми для синтезу газогідратів, рис.1.1 [30].

Зазвичай робочою температурою води для синтезу гідрату метану є вода при $+5^{\circ}\text{C}$. При вищих температурах зростає тиск гідратуутворення. При нижчій температурі складно охолоджувати воду, оскільки в теплообміннику відбувається намерзання льоду на поверхнях.

Тиск в реакторі має бути вищим за рівноважний за даної температури води. Зазвичай його обирають на лінії гідратуутворення при температурі води на 2-3 $^{\circ}\text{C}$ вищим від температури рідини в реакторі. Таким чином, створюється необхідний градієнт тиску для здійснення масообмінних процесів при гідратуутворенні.

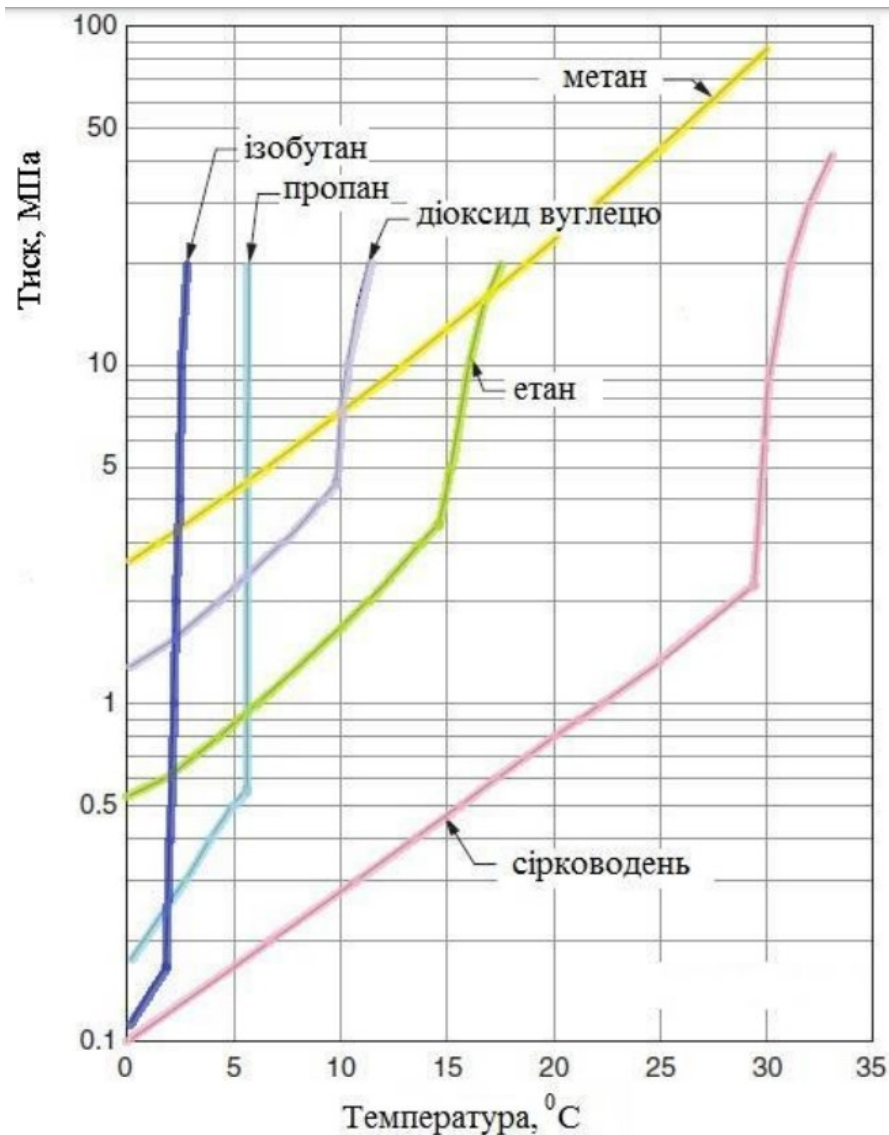


Рисунок 1.1 – Фазова діаграма утворення газогідратів деяких газів

Відведення теплоти із зони реакції. Реакція утворення газогідрату екзотермічна (тобто йде з виділенням теплової енергії) і якщо цю теплоту не відводити відбувається перегрівання реакційної області і синтез гідрату припиняється. Саме тому це досить важливий фактор, який впливає на швидкість синтезу газових гідратів.

У різних реакторах застосовують різні способи відведення теплоти реакції. Так реакторах з великою ємністю застосовується охолодження реакторної води до заданої температури. Зазвичай вода пропускається через зовнішній теплообмінник де охолоджується за допомогою холодильної машини. Є варіанти улаштування охолоджуючих трубопроводів безпосередньо усередині реактора. Ці способи прості в реалізації проте не

Зм.	Лист	Арк.	№ док.	Підпис	Дата

601-НТ.11393307.МР

Арк.

14

описане у відомих роботах. Перевірка нами застосування магнітів не виявила якоїсь суттєвої різниці у швидкості гідратуутворення.

Ще одним методом є застосування металевих пластин (напр. мідних) на яких дещо швидше утворюється газогідрат. Дійсно, за рахунок високої теплопровідності на таких поверхнях інтенсивно відводиться тепло з області реакції, що і призводить до позитивного ефекту. Проте потім потрібно якось видаляти утворений гідрат з таких поверхонь, а тримається він там досить гарно.

Аналіз відомих способів інтенсифікації синтезу ГГ показує необхідність дослідження використання газових сумішей, які складаються з гідратуутворюючого газу та газу-холодоагенту, який буде перебувати усередині мікробульбашки у скрапленому вигляді та поступово випаровуватиметься поглинаючи тепло екзотермічної реакції синтезу ГГ.

						<i>601-НТ.11393307.МР</i>	Арк.
							17
<i>Зм.</i>	<i>Лист</i>	<i>Арк.</i>	<i>№ док.</i>	<i>Підпис</i>	<i>Дата</i>		

1.4. Мета і завдання дослідження

Метою дослідження є підвищення ефективності промислового синтезу газогідратів шляхом застосування бінарних газових сумішей, один з компонентів не є гідратоутворюючим газом, а відіграє роль холодоагента.

Для досягнення поставленої мети необхідно виконати декілька завдань:

- визначити склад газової суміші;
- розробити математичну модель гідродинамічних процесів в газовій бульбашці та оптимізувати концентрацію газової суміші;
- розробити експериментальну установку для синтезу газових гідратів з газових сумішей відомого складу;
- провести серію експериментальних досліджень для визначення ефективності гідратоутворення при застосуванні газових сумішей різної концентрації компонентів;
- провести аналіз результатів натурних експериментів за допомогою методів математичної статистики та порівняти з теоретичними дослідженнями.

						<i>601-НТ.11393307.МР</i>	Арк.
Зм.	Лист	Арк.	№ док.	Підпис	Дата		18

2 ТЕОРЕТИЧНЕ ОБҐРУНТУВАННЯ СИНТЕЗУ ГАЗОВИХ ГІДРАТІВ ІЗ ГАЗОВИХ СУМІШЕЙ

2.1. Визначення складу газової суміші

Для отримання джерела холоду всередині кожної бульбашки газ-холодоагент повинен попасти в бульшку у скрапленому стані. Тоді усередині бульбашки буде постійне джерело холоду допоки газ-холодоагент не випарується. Для визначення можливого складу газових сумішей термобаричні умови синтезу газових гідратів та ліній кипіння різних газів нанесено на діаграму, рис. 2.1.

Аналізуючи рис. 2.1. можемо відмітити що для синтезу гідрату метану у якості холодоагенту підходять два гази: R1150 (етен або етилен, C_2H_4) та R744 (діоксид вуглецю, CO_2). Але діоксид вуглецю сам є гідратоутворюючим газом, тому залишається лише етилен. Термобаричні умови гідратоутворення лежать в межах тиску 4-4,5 МПа та температури 273-279 К. Перш ніж створювати установку для такого високого тиску варто перевірити застосування схожої газової суміші в області менших тисків.

Для моделювання цього процесу на пропані (R290) можна застосувати наступні гази: R717 (аміак, NH_3), R401B (суміш газів), R401A (суміш газів), R406A (суміш газів), R401C (суміш газів), R12 (дифтордихлорметан, Cl_2F_2C), R134A (тетрафторетан, CH_2FCF_3), R152A (дифторетан, $C_2H_4F_2$).

Оскільки будуть застосовуватися лише бінарні суміші газів то усі холодоагенти на основі газових сумішей (R401B, R401A, R406A, R401C) нам не підійдуть. Аміак (R717) має неприємний запах, дуже гарно розчиняється у воді та має малу різницю тисків між рідким пропаном та аміаком, яка складає лише приблизно 0,02 МПа, що може ускладнити процес регулювання термобаричних умов. Тому він також не підходить. Лінія кипіння дифторетану (R152A) проходить дуже «низько», що створює малу зміну тиску для гідратоутворення. Тому його теж не застосовуємо.

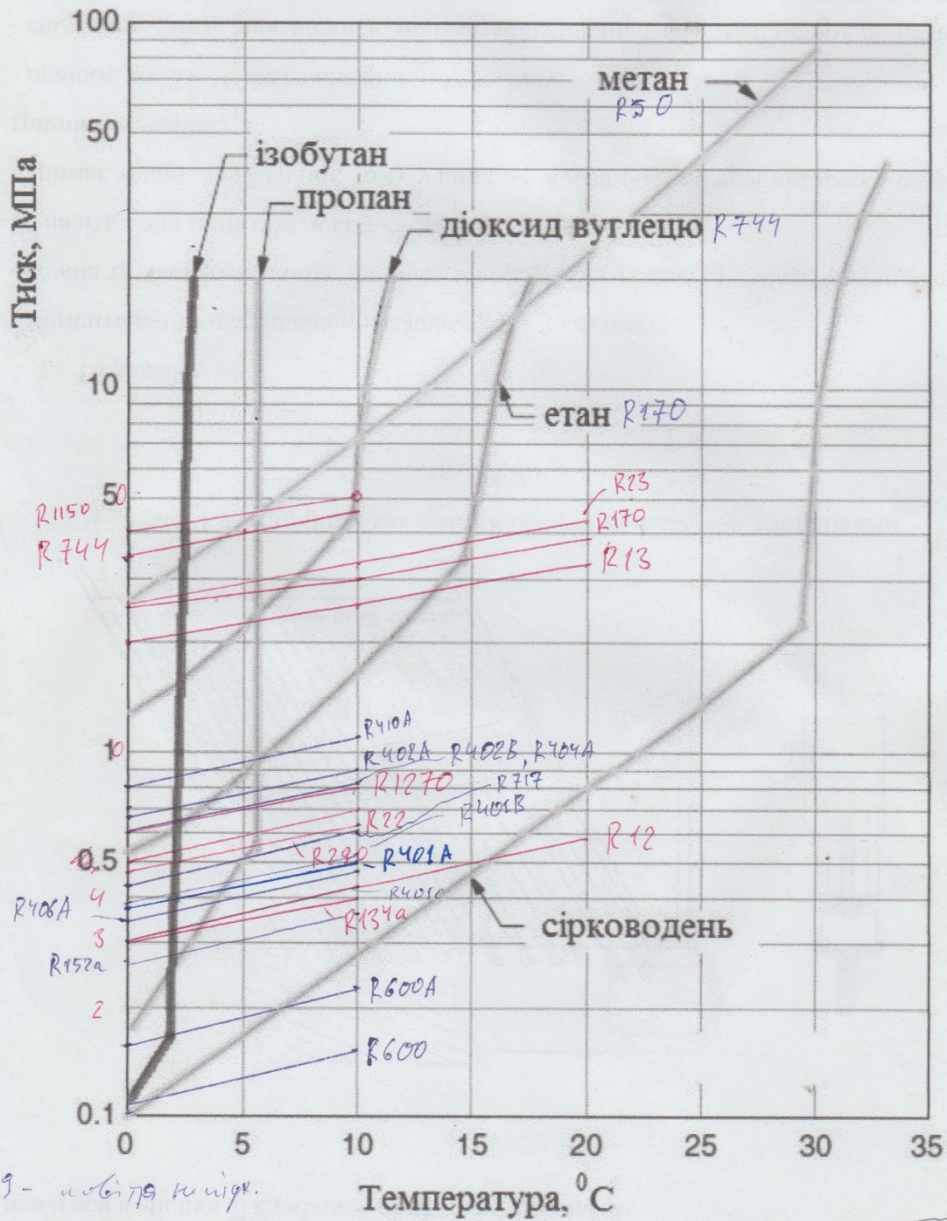
										Арк.
										19
Зм.	Лист	Арк.	№ док.	Підпис	Дата	601-НТ.11393307.МР				

R50 - метан.

R717 - NH₃.

R23 - CH₃F

R744 - пропан. C₃H₈



R729 - ізопропан.

R728 - не ідег.

R740 - пропан.

R11 - не ідег.

R113 - не ідег.

R114 - не ідег.

R123 - не ідег.

R14 - не ідег.

R21 - не ідег.

R1150 - етилен C₂H₄

R12 - дифтордихлорметан CCl₂F₂

R1270 - пропілен.

R13 - CF₃Cl

R134a - тетрафторетан.

R170 - етан.

R22 - CHClF₂

Рисунок 2.1 – Термобаричні умови гідратуутворення та кипіння для різних газів

Зм.	Лист	Арк.	№ док.	Підпис	Дата

601-НТ.11393307.МР

Арк.

20

Залишаються R12 та R134A, які підходять по термобаричним умовам. Аналіз відмінностей R12 та R134A показує, що тетрафторетан не вибухонебезпечний, не горючий, не впливає на озоновий шар, не токсичний, не викликає корозії більшості металів(окрім цинку), хімічно стабільний. R134A широко застосовується у більшості країн Світу для заправки кондиціонерів, осушувачів повітря, в машинах для виготовлення морозива, для заправки балонів з медичними аерозолями, Тому для подальших експериментів обрано тетрафторетан, а саме R134A. У цьому випадку термобаричні умови гідратуутворення будуть знаходитися в межах тиску 0,2-0,33 МПа і температури 273-275 К.

Діаграму P-I для тетрафторетану зображено на рис. 2.2., для пропану – на рис. 2.3.

						<i>601-НТ.11393307.МР</i>	Арк.
Зм.	Лист	Арк.	№ док.	Підпис	Дата		21

Инв. № подл.	Подп. та дата	Взам. инв. №	Инв. № дубл.	Подп. та дата

Зм.	
Лист	
№ док.	
Гідлис.	
Дата	

601-НТ.11393307.МР

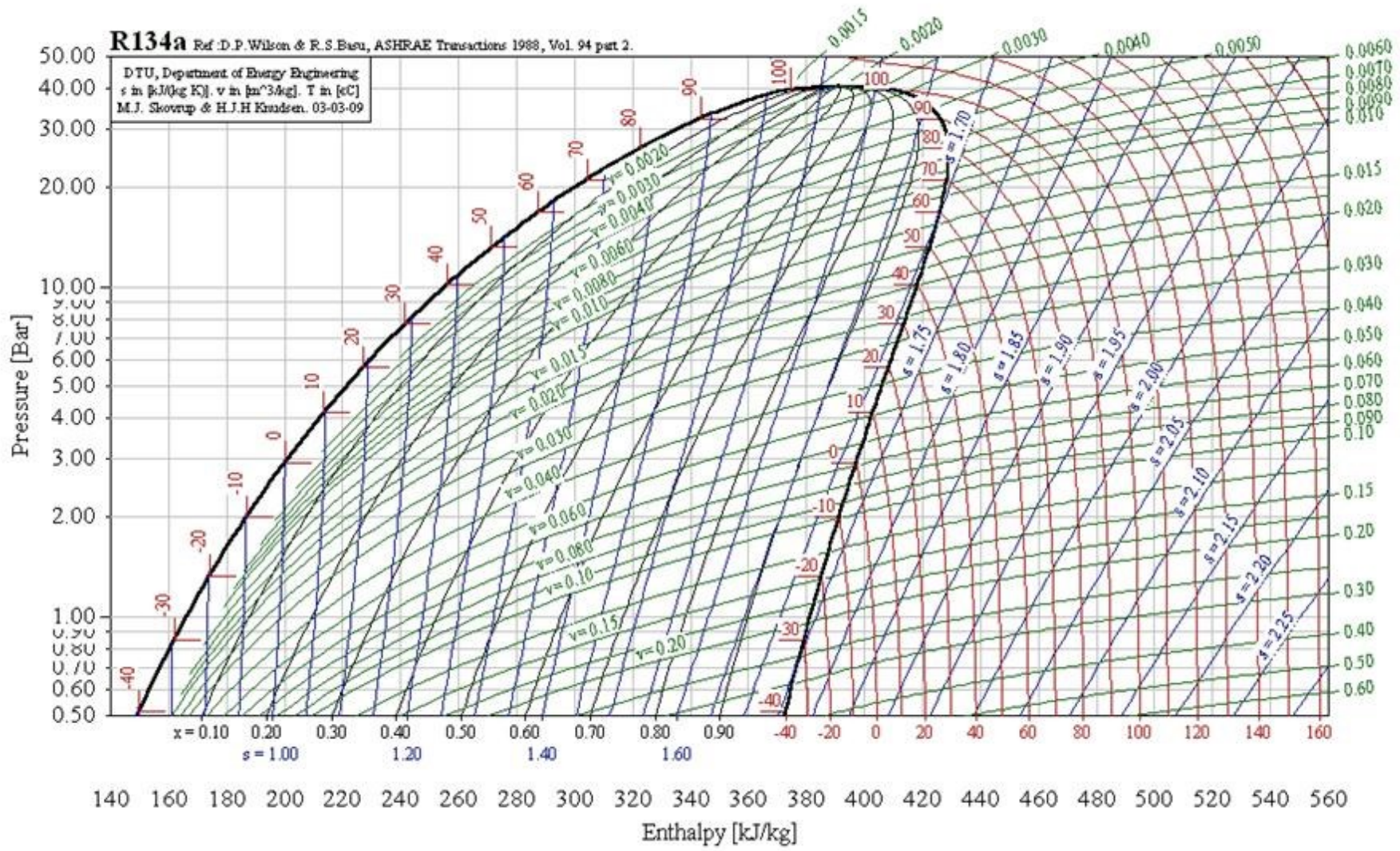


Рис. 2.2 – Діаграма холодоагента R134A (тетрафторетан)

Инв. № подл.	Подп. та дата	Взам. инв. №	Инв. № дубл.	Подп. та дата

Эм.	
Лист	
№ докум.	
Гідрис.	
Дата	

601-НТ.11393307.МР

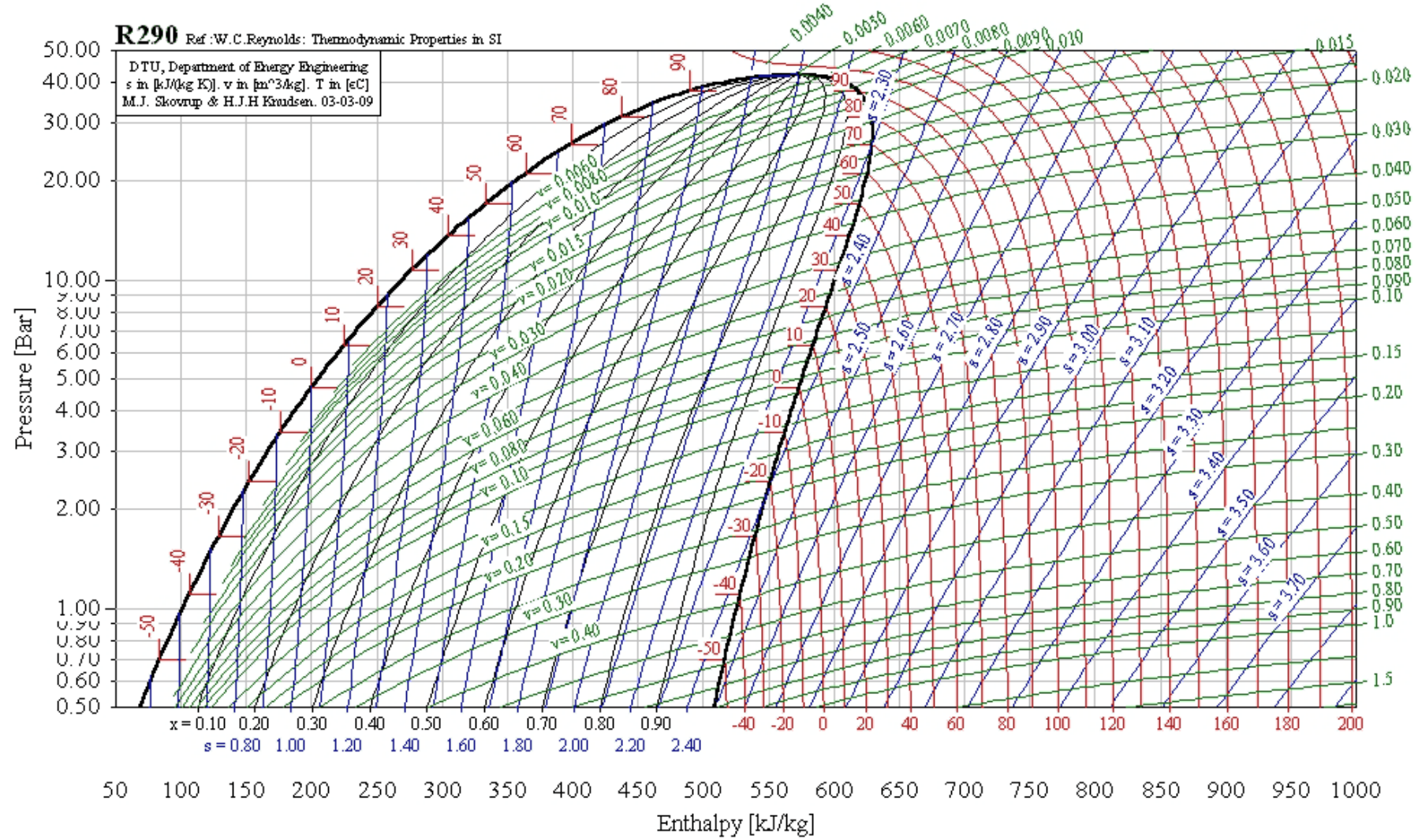


Рис. 2.3 – Діаграма холодоагента R290 (пропан)

$$\Delta P_1 = 0,25V_1^2 \rho_1. \quad (2.4)$$

При виході з насадки маємо гідравлічний опір, такий як, раптове розширення для якого втрати тиску можна знайти за формулою

$$\Delta P_2 = 0,55V_2^2 \rho_2. \quad (2.5)$$

Також в насадці є ділянки руху газу у **прямолінійному відрізьку трубопроводу**. Зважаючи на великі втрати тиску вздовж прямолінійної ділянки густина газу, а отже і його швидкість можуть суттєво змінюватися. Тому втрати тиску на такій ділянці варто визначити шляхом інтегрування рівняння Дарсі, яке записане в диференційній формі

$$dP_x = -\lambda_x \frac{dx}{d_B} \frac{V_x^2}{2} \rho_x, \quad (2.6)$$

де P – тиск, Па; λ – коефіцієнт тертя; ρ – густина газу, кг/м³; V – швидкість газу, м/с.

В рівнянні (1.6) коефіцієнт тертя можна визначити за формулою Альтшуля

$$\lambda_x = 0,11 \left(\frac{k_e}{d_B} + \frac{68}{Re_x} \right)^{0,25}, \quad (2.7)$$

де $k_e/d_B=0,005$; Re – критерій Рейнольдса.

Критерій Рейнольдса

$$Re = \frac{V_x d_B}{\nu_g}, \quad (2.8)$$

						<i>601-НТ.11393307.МР</i>	Арк.
Зм.	Лист	Арк.	№ док.	Підпис	Дата		25

де ν_g – кінематична в'язкість газів, м²/с. Кінематична в'язкість газів: пропану $0,53 \cdot 10^{-6}$ м²/с; тетрафторетану $\nu = \mu / \rho = 11,02 / 14,41 \cdot 10^{-6} = 0,76 \cdot 10^{-6}$ м²/с. Швидкість газу визначають за формулою

$$V_1 = \frac{4G_g}{\rho_g \pi d_B^2}, \quad (2.9)$$

де G_g – масові витрати суміші газів, кг/с; ρ_g – густина суміші газів, кг/м³. Масові витрати суміші газів можна визначити з результатів вимірювань об'ємних витрат по лічильнику, за допомогою формули, кг/с

$$G_g = L_l \cdot \rho_l \quad (2.10)$$

L_l – об'ємні витрати суміші газів по лічильнику, м³/с; ρ_l – густина суміші при термобаричних умовах вимірювання в лічильнику, кг/м³.

Густину газової суміші пропану та тетрафторетану можна визначити за формулою

$$\rho_g = \frac{P}{RT} \left(X_p \frac{\mu_p}{Z_p} + (1 - X_p) \frac{\mu_B}{Z_B} \right), \quad (2.11)$$

де μ – молярна маса, кг/моль; P – тиск, Па; R – універсальна газова стала, Дж/(моль·К); T – абсолютна температура, К; Z – коефіцієнт стисливості, відповідно для пропану (p) та тетрафторетану (B). Молярна маса пропану $\mu_p = 44,1$ гр/моль, тетрафторетану – $\mu_B = 102,03$ гр/моль.

Коефіцієнт стисливості кожного газу визначається за формулою

$$Z = \frac{V_M}{V_M - b} - \frac{1}{3(\sqrt[3]{2} - 1)^2} \frac{b}{V + b} F_{(\omega, T_r)}, \quad (2.12)$$

						<i>601-НТ.11393307.МР</i>	Арк.
Зм.	Лист	Арк.	№ док.	Підпис	Дата		26

де V_M – мольний об'єм газу, м³/моль; b – емпірична константа з рівняння (1.13); $F_{(\omega, T_r)}$ – модифікуюча функція. Емпіричну константу розраховують з рівняння

$$b = \frac{\sqrt[3]{2} - 1}{3} \frac{RT_k}{P_k}, \quad (2.13)$$

де T_k – критична температура газу, К; P_k – критичний тиск газу, Па. Наприклад, для пропану критичні параметри $T_k=96,63$ °С, $P_k=4,3$ МПа, для тетрафторетану – $T_k=101,5$ °С, $P_k=4,06$ МПа.

Модифікуюча функція залежить від фактора ацентричності (ω) та приведеної температури T_r . Для систем легких вуглеводнів при визначенні параметрів рівноваги рідина-пар, найточнішою є модифікація Г. Соаве:

$$F_{(\omega, T_r)} = \frac{1}{T_r} \left[1 + (0,48 + 1,574\omega - 0,176\omega^2)(1 - T_r^{0,5}) \right]^2. \quad (2.14)$$

Для пропану та тетрафторетану фактор ацентричності приведено в таблиці 2.3.

Таблиця 2.3 – Фактор ацентричності для окремих газів

Газ	Фактор ацентричності (ω)
Пропан	0,152
Тetraфторетан	0,201

Приведена температура визначається за формулою

$$T_r = \frac{T}{T_k}. \quad (2.15)$$

З урахуванням фактора ацентричності модифікуюча функція для пропану

$$F_{(P)} = \frac{369,8}{T} \left[1 + 0,715 \left(1 - \frac{T^{0,5}}{19,23} \right) \right]^2. \quad (2.16)$$

Аналогічно знаходимо модифікуючу функцію для тетрафторетану

$$F_{(B)} = \frac{425,1}{T} \left[1 + 0,789 \left(1 - \frac{T^{0,5}}{20,62} \right) \right]^2. \quad (2.17)$$

Визначення коефіцієнтів стисливості потребує застосування ітераційного підходу до розрахунків.

Зважаючи на теплообмін трубки з навколишнім середовищем до складу тепломасообмінних процесів усередині трубки можна включити наступні:

- охолодження газу внаслідок зменшення тиску;
- зміну температури внаслідок теплообміну з навколишнім середовищем через стінку трубки;
- конденсацію чи випаровування компонентів газової суміші у придатних для цього умовах.

Тепловий режим газової суміші, яка рухається в трубці вздовж вісі x в стаціонарних умовах описується першим законом термодинаміки

$dU_x = dQ_x - dA_x$. Звідки, після розкриття складових, одержимо систему рівнянь

$$\begin{aligned} dA_x &= -\frac{G_g}{\rho_x k} dP_{g(x)} \\ dQ_x &= K_x \cdot dx \cdot (T_w - T_{g(x)}) \\ dU_x &= c_g \cdot G_g \cdot dT_{g(x)} - r_p V_x \frac{dm_p}{dx} - r_b V_x \frac{dm_b}{dx}, \end{aligned} \quad (2.18)$$

$$K_x = \frac{1}{\frac{1}{\alpha_{1(x)} d_B} + \frac{1}{2\lambda_{CT}} \ln\left(\frac{d_z}{d_B}\right) + \frac{1}{\alpha_2 d_z}}$$

де c_g – масова теплоємність газової суміші, Дж/(кг·°C);

d_B – внутрішній діаметр трубки, м;

ρ_x – густина суміші газів в перерізі X, кг/м³;

T_g – температура газової суміші, °C;

T_w – температура води в реакторі, °C;

G_g – масові витрати газової суміші, кг/с;

r_p – теплота конденсації пропану, Дж/кг;

r_b – теплота конденсації тетрафторетану, Дж/кг;

m_p – маса рідкого пропану, кг;

m_b – маса рідкого тетрафторетану, кг;

$\alpha_{1(x)}$ – коефіцієнт теплообміну біля внутрішньої поверхні трубки в перерізі x, Вт/(м²·K);

α_2 – коефіцієнт теплообміну біля зовнішньої поверхні трубки, Вт/(м²·K);

d_z – зовнішній діаметр трубки, м.

У разі турбулентного руху (в дослідях $Re > 10000$) перенесення теплоти між газом і стінкою трубки здійснюється в основному за рахунок конвекції. Для турбулентного руху коефіцієнт теплообміну біля внутрішньої поверхні трубки теплообмінника можна визначити за формулою, Вт/(м²·K)

$$\alpha_{1(x)} = 0,021 \frac{\lambda_g}{d_B} Re_{(x)}^{0,8} Pr_g^{0,43}, \quad (2.19)$$

де λ_g – коефіцієнт теплопровідності газової суміші, Вт/(м·°C); $Re_{(x)}$ – критерій Рейнольдса в перерізі x; Pr_g – критерій Прандтля для газової суміші.

Для визначення теплообміну на поверхні трубки застосовано залежність

$$\alpha_2 = C \frac{\lambda_w}{d_z} (Gr Pr_w)^n, \quad (2.20)$$

де C, n – емпіричні коефіцієнти;

						<i>601-НТ.11393307.МР</i>	Арк.
Зм.	Лист	Арк.	№ док.	Підпис	Дата		29

λ_w – коефіцієнт теплопровідності теплоносія, Вт/(м·°С);

Gr – критерій Грасгофа;

Pr_w – критерій Прандтля для води.

Коефіцієнти C та n в рівнянні (2.20) визначають залежно від режиму руху рідини, табл.2.2.

Таблиця 2.2

Gr·Pr	C	n
<500	1,1	0,1
	8	25
500...20000 000	0,5	0,2
	4	5
>20000000	0,1	0,3
	35	3

Критерій Грасгофа знаходимо за відомою формулою

$$Gr = \frac{g\beta l^3(T_w - T_{ст})}{\nu^2}, \quad (2.21)$$

де g – прискорення вільного падіння, м²/с;

β – коефіцієнт об'ємного розширення води, °С⁻¹;

l (d_z) – характерний розмір, м;

T_w – температура води, °С;

T_{ст} – температура стінки, °С;

ν – коефіцієнт в'язкості рідини, м²/с.

Товщина трубки й матеріал, з якого її виготовлено дозволяють розрахувати опір теплопередачі. Наприклад, нержавіюча сталь має досить низький коефіцієнт теплопровідності $\lambda_{ст}=15$ Вт/(м·К).

Маса конденсованого пропану та тетрафторетану визначається лише в термобаричних умовах, при яких парціальний тиск відповідного компоненту газової суміші більший за тиск насиченої пари при даній температурі:

2.3. Результати розрахунків газових сумішей різної концентрації

За рівняннями 2-22 математичної моделі створено комп'ютерну програму (додаток Б). В результаті попередніх експериментальних досліджень отримані вихідні дані для розрахунку (табл.3.). Результати розрахунку наведено в табл. 2.4.

Таблиця 2.3 – Результати вимірювань (фрагмент)

Дата	tg, °C	tr, °C	to, °C	P _г ^{max} , бар	P _г , бар	P _{реак} , бар	Ø внутр, мм	Lg, л/с	Gg, кг/с	Тип насадки
19.09	13	0	14	3,0	1,7	1,2	0,31	0,0170	3,8·10 ⁻⁵	отвір
07.10	15	0	16	4,6	3,46	3,1	0,535	0,118	24,4·10 ⁻⁵	отвір

Таблиця 2.4 – Результати розрахунку (фрагмент)

Дата	Xp1, %	Xp2, %	Gк/Gg, %	ΔP, бар	tg, °C	Vg, м/с	Еп, %	Примітки
19.09	44,1	47,6	3,3	0,5	7,0	88,34	6,6	Конд. бутану в реакторі
07.10	67,9	70,2	2,5	0,36	4,03	128,65	8,3	Конд. бутану в реакторі і в звуженні
09.08	54,5	75,0	7,7	1,0	5,8	152,6	5,8	Конд. бутану в трубці, соплі, реакторі

Отримані результати показують, що при певних термобаричних умовах може відбуватися конденсація одного компонента газової суміші з утворенням аерозолу. Таким чином, отримано попереднє підтвердження гіпотези про можливість застосування газу-холодоагенту у форматі аерозолу для інтенсифікації гідратуутворення. Проте ці дані отримано на основі експериментів із пропан-бутановою газовою сумішшю.

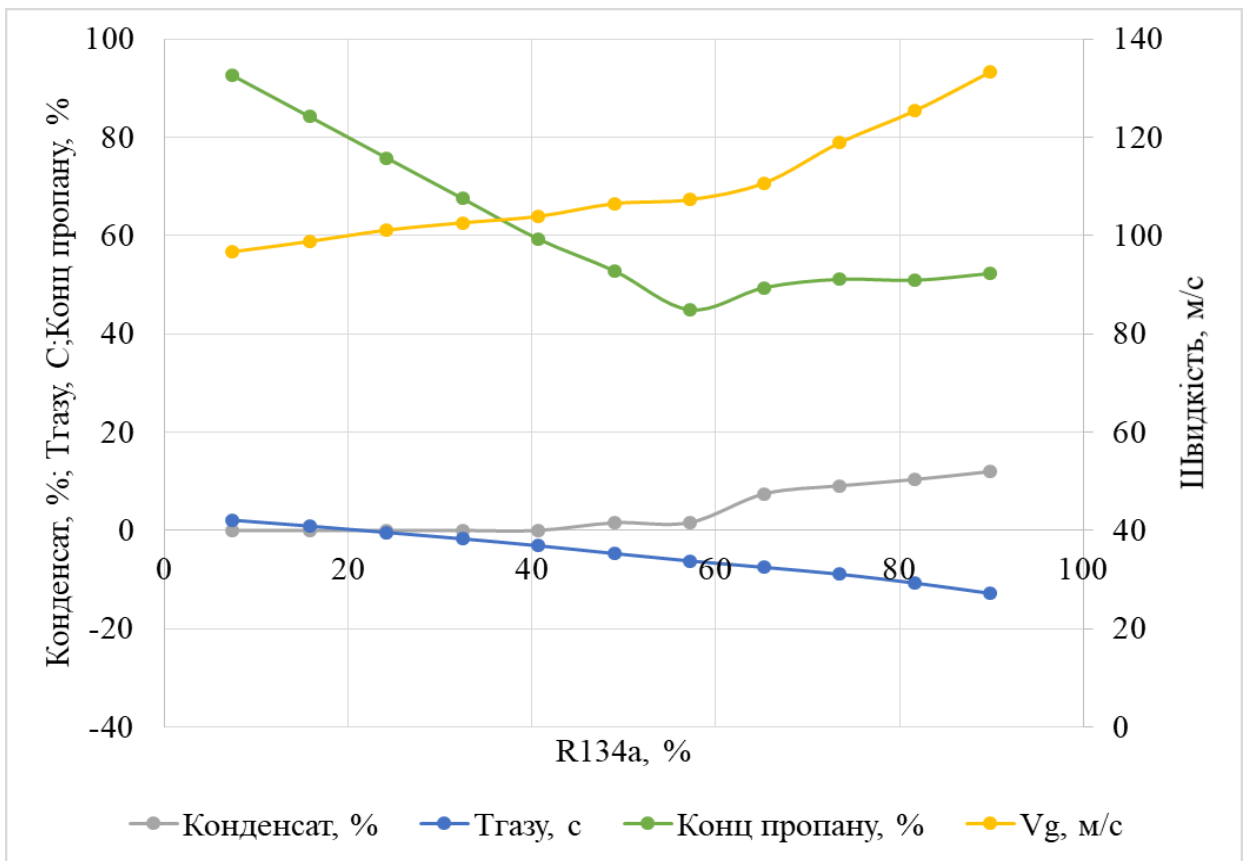


Рис. 2.6 – Графічне представлення результатів моделювання (початкові витрати газової суміші 0,13 гр/с)

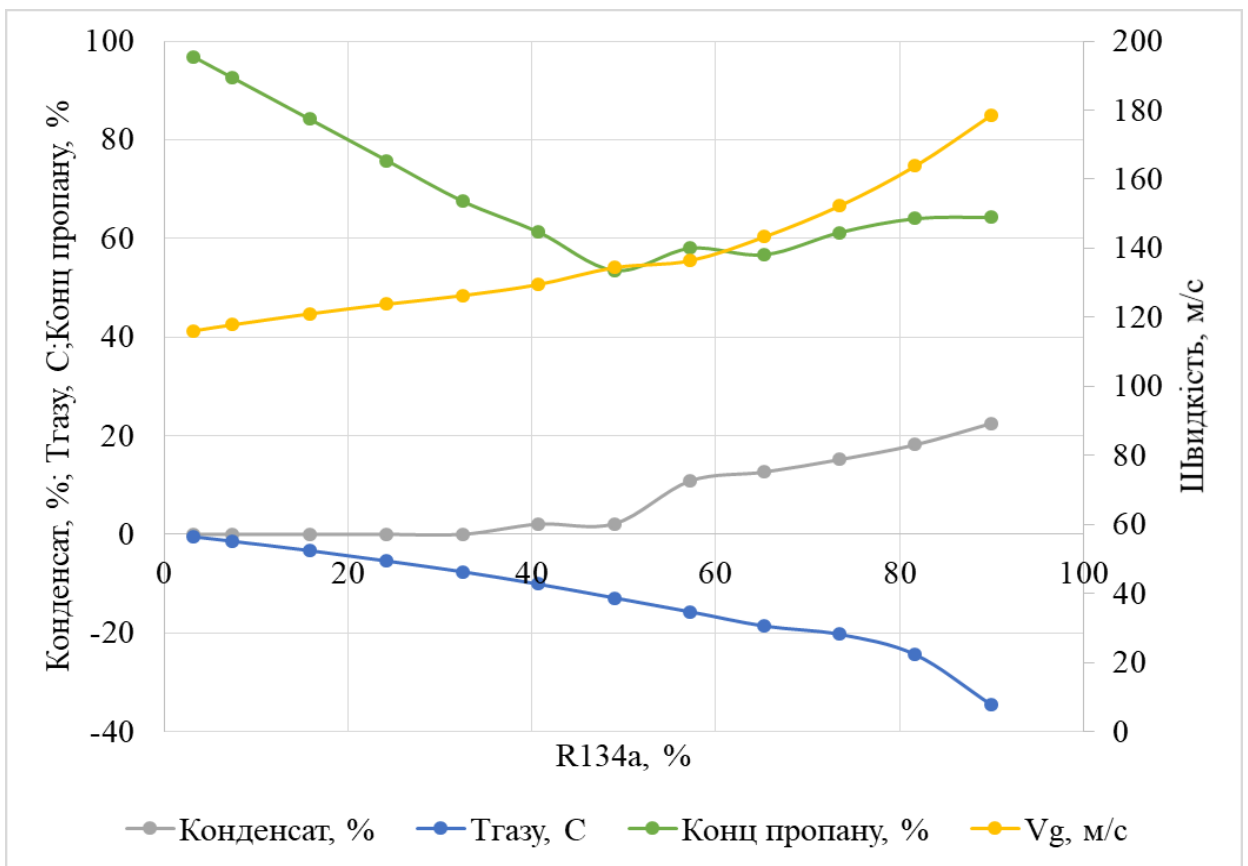


Рис. 2.7 – Графічне представлення результатів моделювання (Початкові витрати газової суміші 0,14 гр/с)

Установка складається з двох балонів зі скрапленими газами, двох витратомірів на основі дифманометрів високого тиску, засобів регулювання витрат, двох манометрів для вимірювання тиску середовища, камери змішування з прозорим вікном, прозорого реактора, манометрів тиску газу до реактора та всередині реактора, датчика температури рідини в реакторі, об'ємного витратоміра газу атмосферного тиску барабанного типу.

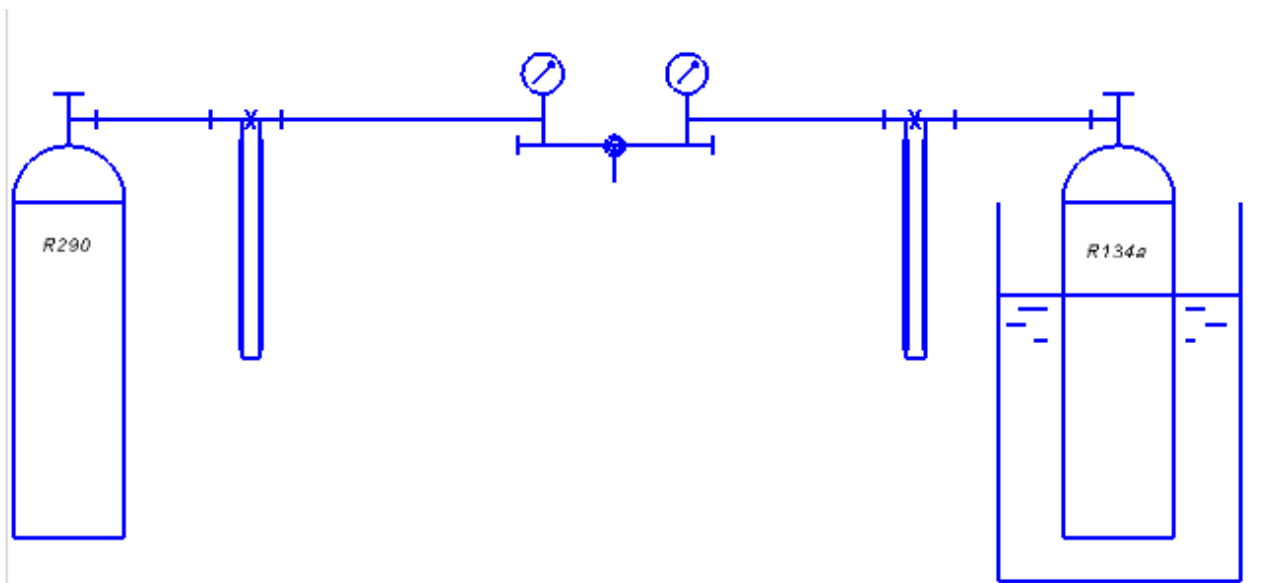


Рис. 3.1 – Схема установки для отримання газової суміші пропану та тетрафторетану

У процесі збірки установки для вимірювання витрат газу були створені 2 дифманометра, рис.3.2. Для витримування високого тиску вони виготовлені шляхом пайки з мідних трубок та для зручності приєднання до стандартних «холодильних» шлангів обладнані різьбовими патрубками на ¼ дюйма. Для візуалізації показів застосовано товстостінні скляні трубки на робочий тиск 1,6 МПа. У якості робочої рідини використана вода. Потрібна герметичність установки досягнута шляхом затягування подвійних хомутів на дюрітових резинових трубках.



Рис. 3.3 – Прозорий реактор для синтезу гідрату пропану

Дослідна установка. Для проведення експериментальних досліджень синтезу ГГ пропану за допомогою мікробульбашок нами застосована установка, схему якої представлено на рис. 3.4.

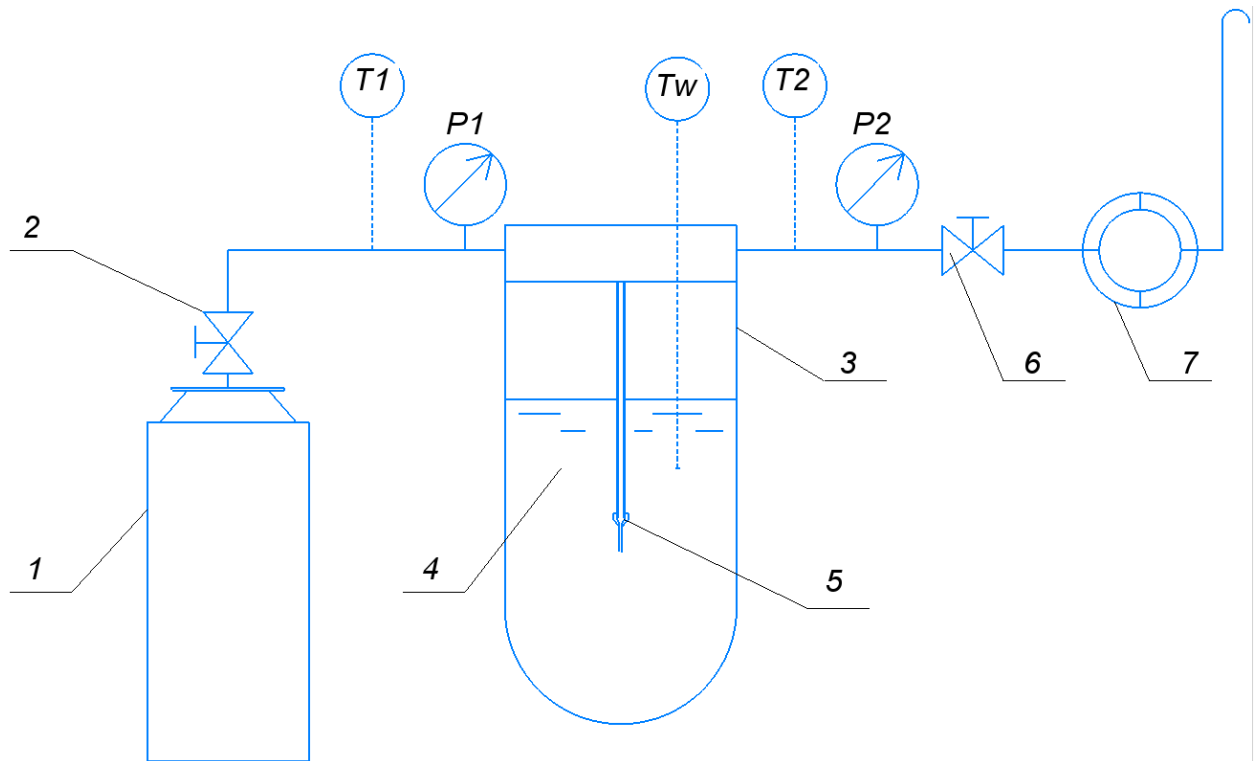


Рис.3.4 Схема дослідної установки

1 - балон газовий; 2 - вентиль голковий на балоні; 3 - реактор з прозорою колбою; 4 - вода; 5- трубка подачі газу зі змінною насадкою; 6 – вентиль голковий; 7- лічильник витрат газу

Газова суміш з балонів 1 через вентиль 2 надходить в змінну насадку 5, а з неї попадає в прозорий реактор 3, який заповнено водою з льодом 4. Витрати газу регулюються голковим вентиляем 6 і вимірюються газовим лічильником 7. Тиск газу перед насадкою визначається за допомогою манометра P1, а тиск в реакторі – манометра P2. Температурний режим газу до реактора, після реактора та температура води контролюються термометрами T1, T2 та Tw.

Загальний вигляд установки зображено на фото, рис. 3.5.



Рис. 3.5 – Загальний вигляд дослідної установки

Ефективність процесу синтезу газогідрату визначалася шляхом вимірювання об'єму газу, який виділяється після його дисоціації (V_{gg}), за співвідношенням

$$E = \frac{V_{gg}}{V_{\Sigma}} \cdot 100 \quad , \quad (3.1)$$

де V_{Σ} – загальна кількість газу в досліді, м³.

						<i>601-НТ.11393307.МР</i>	Арк. 40
Зм.	Лист	Арк.	№ док.	Підпис	Дата		



Рис.3.6 – Границя емульгованого середовища у воді

Вимірявши швидкість спливання бульбашок у воді, їх розмір можна розрахувати за формулою

$$d = \sqrt{\frac{18Vv}{g\left(1 - \frac{\rho_g}{\rho_w}\right)}} \quad (3.2)$$

де d – діаметр бульбашки, м;

V – швидкість спливання бульбашок у воді, м/с;

v – кінематична в'язкість води, м²/с;

g – прискорення вільного падіння, м/с²;

ρ_g та ρ_w – відповідно густина газу та води, кг/м³.

За результатами експериментальних даних середні розміри мікробульбашок знаходяться в межах 60÷70 мкм.

Склад газової суміші. В експериментальних дослідженнях синтезу ГГ пропану застосовано пропан-тетрафторетанову суміш з балонів. Оскільки в процесі випаровування рідких газів їх температура знижується і падає тиск її компонентів - важливо оперативно визначати концентрацію пропану.

На лінії насичення кожен газ має своє значення тиску як функція температури, тому розрахунок складу газової суміші можна виконати знаючи її тиск при відомій температурі. Загальний тиск є сумою парціальних тисків компонентів, Па

						<i>601-НТ.11393307.МР</i>	Арк.
Зм.	Лист	Арк.	№ док.	Підпис	Дата		42

$$P = P_p + P_B, \quad (3.3)$$

де P – загальний тиск суміші, Па; P_p – тиск чистого пропану при даній температурі, Па; P_B – тиск чистого тетрафторетану при даній температурі, Па. Вимірявши витрати компонентів газової суміші по диференційним манометрам можемо знайти частку пропану (X_p) за формулою:

$$X_p = \frac{L_p}{L_p + L_{R134a}}. \quad (3.4)$$

Застосування залежності (3.4) для обробки експериментальних даних дозволило визначити склад газу, який надходить у реактор. У початковому складі газова суміш містить пропан (C_3H_8) у кількості до 70% та тетрафторетану (CF_3-CF_2H) у кількості до 30%. В дослідях застосовано лише чисті гази, тому наявність інших вуглеводнів в розрахунках не враховувалася. Кінцевий склад суміші – 30% пропану і 70% тетрафторетану.

Концентрація ПАР. Концентрація ПАР у воді реактора відіграє важливу роль в отриманні мікробульбашок. У дослідях у якості ПАР було використано гель який містить 10% лауретсульфату натрію та 5% лаураміну. Його головною перевагою є гарне піноутворення при низьких температурах води. Для визначення мінімальної достатньої концентрації ПАР проведено ряд дослідів. Експериментальним шляхом встановлено, що для отримання мікробульбашок при температурі води 0 - +5°C, мінімальна масова концентрація ПАР у воді становить 0,04%. Подальше збільшення концентрації ПАР не призводить до помітного збільшення кількості мікробульбашок.

Дослідження конструкції насадки для синтезу мікробульбашок газу. Для інтенсифікації синтезу ГГ конструкція насадки повинна вирішувати одразу декілька завдань: створювати максимальну кількість мікробульбашок у воді, не забиватися та не обмерзати.

						<i>601-НТ.11393307.МР</i>	Арк.
Зм.	Лист	Арк.	№ док.	Підпис	Дата		43



Рис. 3.11 – Гідрат тетрафторетану

Стабілізація. Режим стабілізації не виконувався, оскільки желеподібна структура займає увесь реактор.

Випуск газу. Перекрито подачу газу з балону та здійснено випуск газу з трубок аналогічно до досліду №1.

Дисоціація гідрату тетрафторетану. Для дослідження дисоціації нового виду газогідрату колба реактора була відкручена і в неї поміщено ртутний термометр з ціною поділки $0,1\text{ }^{\circ}\text{C}$. Початкова температура $+1,5^{\circ}\text{C}$ – гідрат стабільний. Оскільки процес дисоціації не відбувався – колба була переміщена у «тепле» середовище з навколишньою температурою $+18\text{ }^{\circ}\text{C}$. При підвищенні температури гідрату до $+3\text{ }^{\circ}\text{C}$ він почав повільно дисоціювати. При $+5\text{ }^{\circ}\text{C}$ гідрат тетрафторетану повністю дисоціював.

						<i>601-НТ.11393307.МР</i>	Арк.
Зм.	Лист	Арк.	№ док.	Підпис	Дата		54



Рис. 3.12 – Початок і кінець дисоціації гідрату тетрафторетану

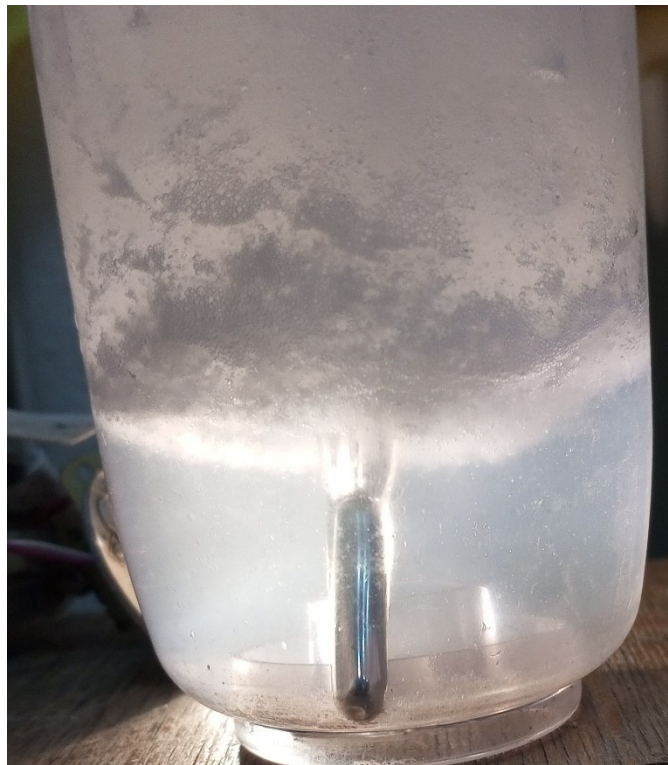


Рис. 3.13 – Дисоціація тетрафторетану

Аналіз літературних джерел по синтезу гідрату тетрафторетану

Аналіз літературних джерел показав, що вперше гідрат тетрафторетану отримано колективом китайських вчених [21] у 2015 р. Випробувальна посудина складалася з основної порожнини з фіксованим об'ємом 140 мл і допоміжної порожнини зі змінним об'ємом 0 ~ 64 мл. Температури в

						<i>601-НТ.11393307.МР</i>	Арк.
Зм.	Лист	Арк.	№ док.	Підпис	Дата		55

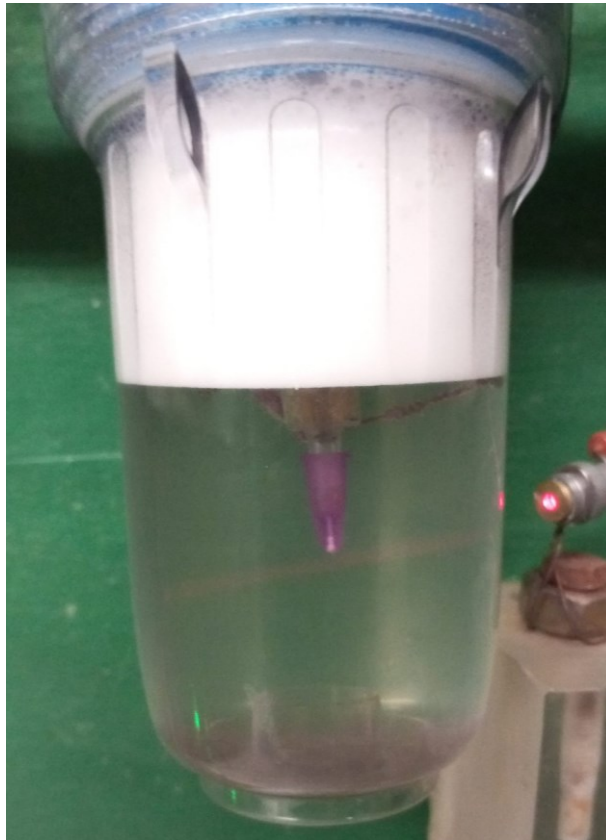


Рис. 3.16 – Спінення водного розчину після стравлювання тиску в реакторі

Стабілізація. Режим стабілізації був не тривалим (до 5 хвилин), оскільки газогідрат виявити не вдалося.

Випуск газу. Перекрито подачу газу з балону та здійснено випуск газу за допомогою голчастого вентиля. При тиску менше 0,2 МПа спостерігалося сильне спінення водного розчину ПАР. Очевидно почали різко збільшуватися мікробульбашки газу у воді.

Дослід №4. Визначення тиску гідратоутворення R134a при температурі води +8°C.

Мета. Дослідити можливість синтезу гідрату R134a при температурі +8°C.

Заправка реактора. Заправка реактора здійснювалася водою з ПАР при температурі 12°C. Для охолодження колбу з розчином поміщено в холодильник на 1 годину. Початкова температура рідини 6,5°C.

скраплений газ подається в колону реактора де закипає в умовах зниженого тиску.

Також відома робота [26], де для дослідження кінетики гідратуутворення створено систему циркуляційного потоку, що складається з прозорого U-подібного контуру, змішувальної ємності та лазерного гранулометра, які працюють при тиску до 4 МПа. Експерименти з утворення гідрату холодоагенту CCl_2F_2 (R12) проводили методом лазерного розсіювання світла при 277,1 К і тиску 0,24 і 0,32 МПа. Витрати рідини були в діапазоні 300–1400 л/год. Розподіл розмірів і щільність частинок гідрату R12 у чистій воді вимірювали за допомогою лазерного гранулометра. Експериментальні результати показують, що розмір частинок гідрату різко зростає на початковій стадії і поступово наближається до стабільного розміру. Концентрація частинок гідрату у водній фазі зростає із збільшенням тиску та швидкості потоку циркулюючої рідини. На основі матеріального балансу створено математичну модель між витратою газу, середнім розміром частинок гідрату та коефіцієнтом затінення. Результати розрахунків за математичною моделлю добре узгоджуються з експериментальними даними про споживання газу.

						<i>601-НТ.11393307.МР</i>	Арк.
Зм.	Лист	Арк.	№ док.	Підпис	Дата		63

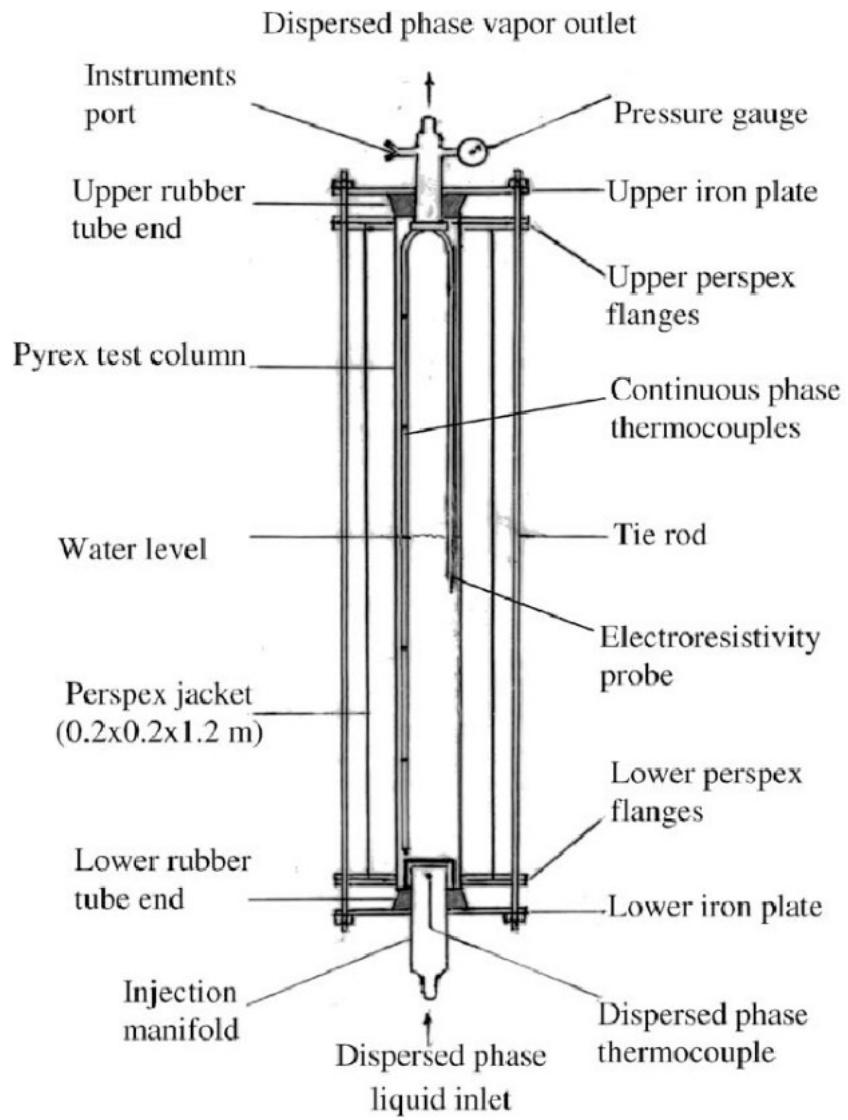


Рис. 3.19/1 – Конструкція колони для синтезу газових гідратів R12

						601-НТ.11393307.МР	Арк.
Зм.	Лист	Арк.	№ док.	Підпис	Дата		64

- Час, необхідний для досягнення системою метану рівноважного тиску (3,86 МПа) становив 1100 хв. При цьому час реакції становив 400 хв для етиленової системи при рівноважному тиску 2,91 МПа.
- Досліди проводилися на льодові з температурою -4°C при тиску 4МПа.
- Відсутній індукційний період в утворенні ГГ системи метан – етилен.

Висновок. В цілому етилен також є гідратоутворюючим газом, який покращує гідратоутворення метану, але входить до складу комплексного ГГ, заповнюючи «великі» порожнини, а малі заповнює метан. Процес іде порівняно довго на поверхні льоду, навіть для етилену він зайняв 8 годин. Проте сама ідея проведення процесу при від’ємних температурах є досить цікавою, оскільки дозволяє різко знизити рівноважний тиск гідратоутворення.

У роботі [32] наведено термобаричні умови для гідратоутворення при від’ємних температурах, рис. 3.19/6.

						<i>601-НТ.11393307.МР</i>	Арк.
Зм.	Лист	Арк.	№ док.	Підпис	Дата		68

Заправка реактора. Заправка реактора здійснювалася льодом при температурі -15°C . Лід з морозильної камери подрібнено і заповнено ним реактор до половини.

Подача газу. Для подачі газу в реактор встановлено насадку у вигляді довгої спіральної трубки, що сприяє додатковому охолодженню газу. У реактор газ подавався швидко, із підвищенням тиску в реакторі до $0,47\text{ МПа}$. Контроль за гідратуутворенням здійснювався візуально та за допомогою відеокамери.

Стабілізація. Режим стабілізації в даному досліді є головним і ми готувалися до спостережень тривалістю декілька годин. Під час стабілізації вентиль на подачі газу в реактор було перекрито й тиск в реакторі поступово знижувався внаслідок синтезу ГГ пропану, рис. 3.19/7.

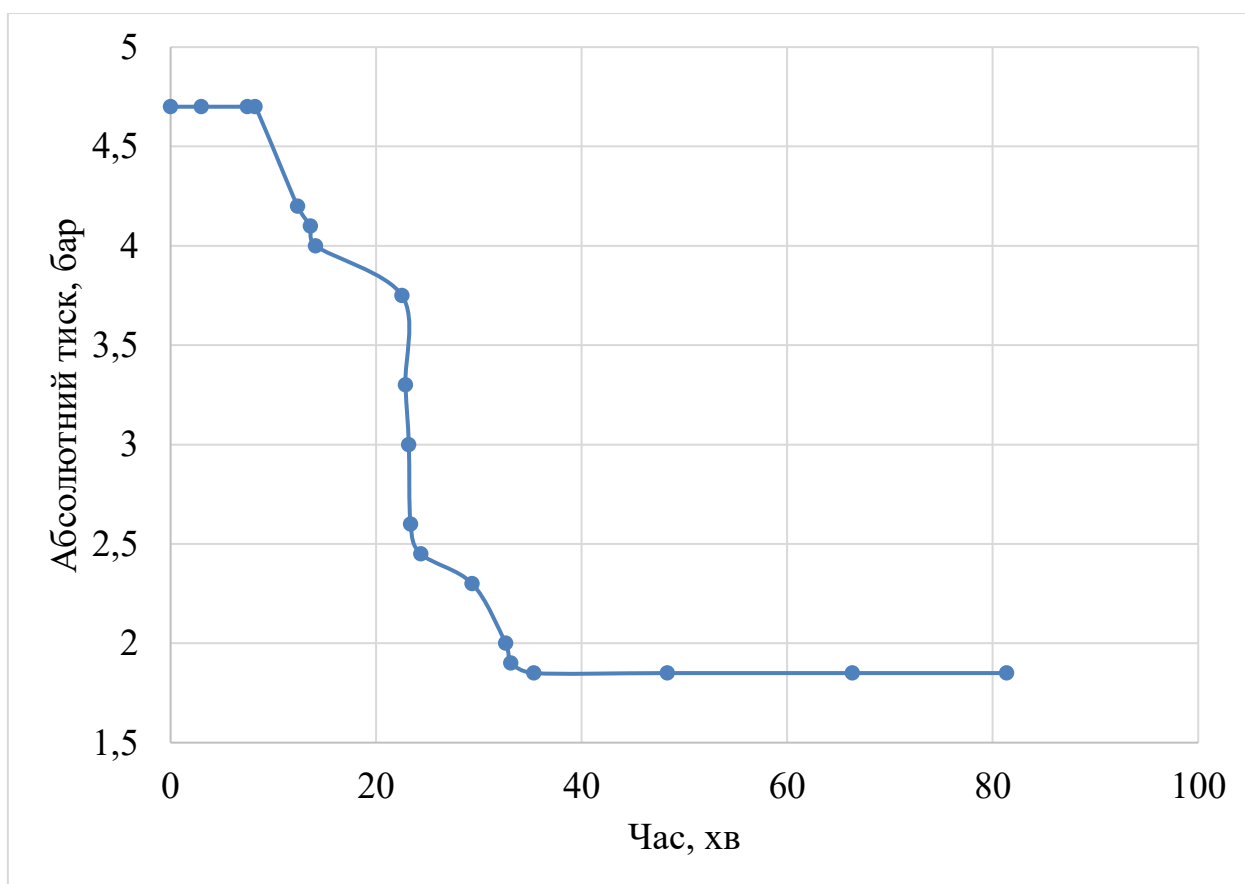


Рис. 3.19/7 – Тиск у реакторі під час синтезу гідрату пропану

Випуск газу.

Після зтравлювання тиску до атмосферного прозора колба була від'єднана від стенду і синтезований ГГ пропану почав активно дисоціювати, рис. 3.19/8.

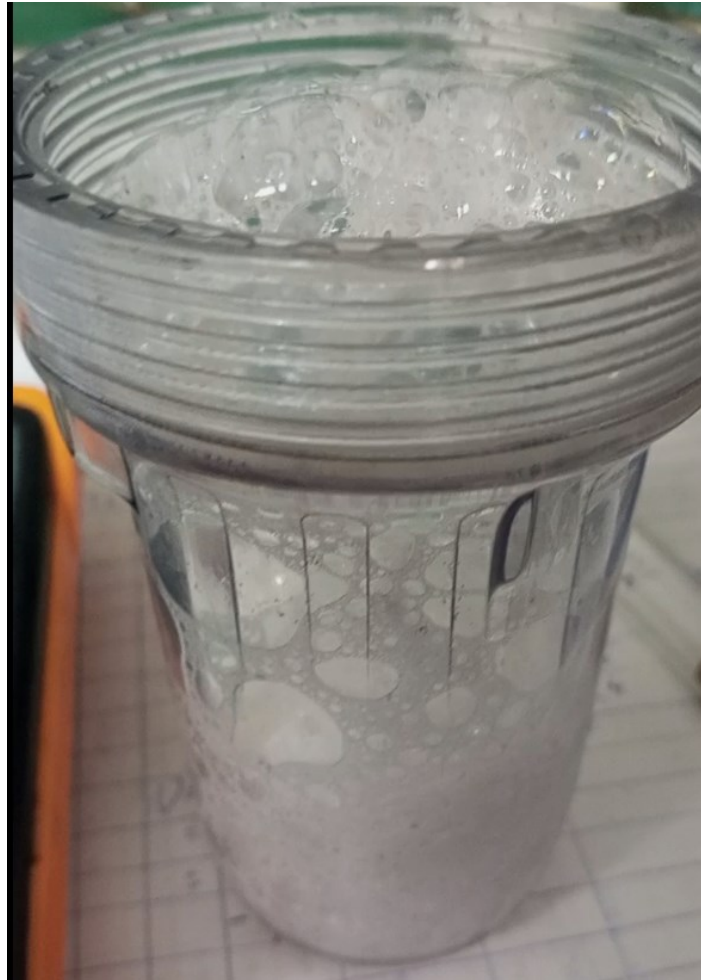


Рис. 3.19/8 – Активна дисоціація гідрату пропану при зниженні тиску до атмосферного

Висновки.

1. Виконаний дослід показує, що на відміну від досліджень інших авторів процес гідратуутворення на поверхні льоду може відбуватися досить швидко. Зокрема у нашому випадку він тривав лише 27 хвилин. І це на шматочках льоду розміром 1-10 мм, котрі у 5-10 разів перевищують оптимальні.

2. Отвір насадки має бути досить великим для уникнення повного обмерзання, що призводить до повного переривання подачі газу. У нашому випадку довгі насадки також інтенсивно обмерзли за рахунок води, що попадає разом з потоком газу в насадку.

3. Загальна кількість газу, яка вступила у реакцію утворення ГГ пропану становить

$$E = \frac{P_2 - P_1}{P_2} \cdot 100\% = \frac{4.2 - 1.85}{4.2} \cdot 100\% = 56\%.$$

Така ефективність гідратуутворення перевищує барботажний метод у декілька разів (приблизно у 5 разів).

4. На синтез ГГ сильно впливає температура льоду. Якщо вона занизька-реакція не йде. Саме це і спостерігається на початку дослідіду.

Дослід №6. Дослідження гідратуутворення тетрафторетану на поверхні льоду

Мета. Дослідити процес синтезу гідрату тетрафторетану на поверхні кристалів льоду при температурі -15....0°C.

Заправка реактора. Заправка реактора здійснювалася льодом при температурі -15°C. Лід з морозильної камери подрібнено і заповнено ним реактор до половини.

Подача газу. Для подачі газу у реактор встановлено насадку у вигляді довгої спіральної трубки, що сприяє додатковому охолодженню газу. У реактор газ подавався швидко, з підвищенням тиску у реакторі до 0,3 МПа.

						<i>601-НТ.11393307.МР</i>	Арк.
Зм.	Лист	Арк.	№ док.	Підпис	Дата		72

бутану, який з газової фази перейшов у рідку в газовій суміші (-0,940), яка надходить в реактор, рис.3.20. Аналіз процесів при розширенні газової суміші в насадці показує, що при охолодженні газової суміші спостерігається часткове скраплення н-бутану. Процес конденсації поглинає значну частку енергії, в результаті чого температура газової суміші не надто знижується. Якщо знизити початкову концентрацію н-бутану в газовій суміші – можна уникнути конденсації його парів. Фактично н-бутан заважає процесу гідратуутворення пропану.

ККД, %

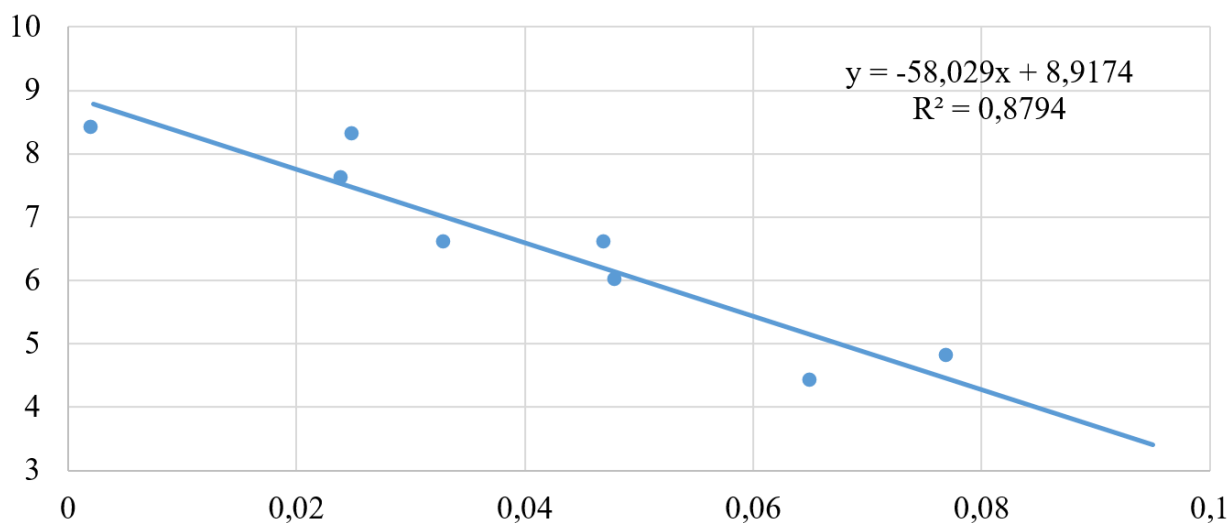


Рис. 3.20 – Кореляція ККД з масовою часткою зконденсованого н-бутану

Температура газу. Дещо меншою (на другому місці) знаходиться кореляція ККД гідратуутворення з температурою газу на виході з насадки (-0,906), рис. 3.21. За результатами експериментальних досліджень нами отримана регресійна залежність, %

$$\eta = 8,16 - 0,247t_g. \quad (3.8)$$

Як бачимо, зниження температури газу на виході з насадки покращує процес гідратуутворення. Проте, як показали дослідження, при від'ємній температурі газу насадка часто обмерзає і потік газу переривається.

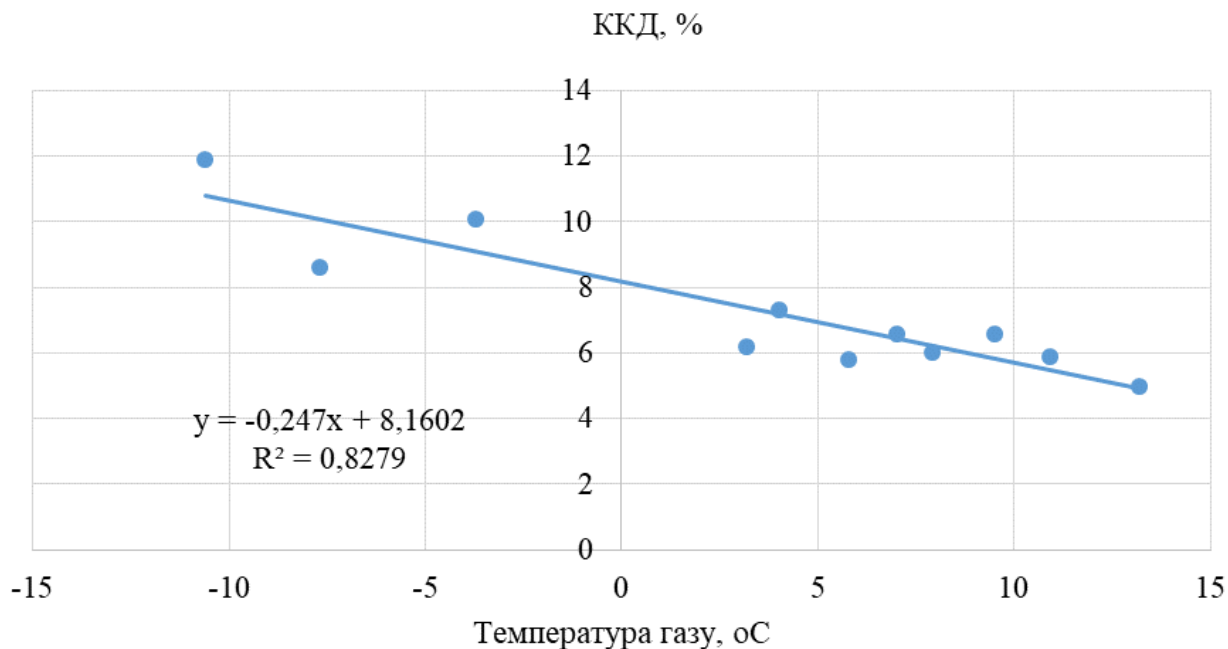


Рис. 3.21 – Регресія ККД гідратоутворення з температурою газу на виході з насадки

Швидкість виходу газу з насадки досить сильно впливає на ККД гідратоутворення (коефіцієнт кореляції 0,732) в межах 50÷200 м/с. При збільшенні швидкості газової суміші на виході з насадки призводить спостерігається інтенсифікація гідратоутворення. Але потрібно враховувати, що тут також може накладатися вплив інших факторів, зокрема: конденсації н-бутану, обмерзання насадки. Тому, здавалося б схожі досліди можуть давати досить різні результати.

Встановлено експериментальним шляхом, що мікробульбашоки у воді починають утворюватися при швидкості газу не менше 50 м/с. Для отримання кількості мікробульбашок розміром 60-70 мкм яка може впливати на процес гідратоутворення необхідна швидкість газу на виході з насадки 80-120 м/с.

Різниця тиску. У дослідах багатьох авторів різниця тиску в реакторі та тиску гідратоутворення є ключовим фактором гідратоутворення і розглядається як рушій процесу гідратоутворення. За даними експериментів вплив різниці тиску в реакторі з тиском гідратоутворення трохи слабшу від'ємну кореляцію (-0,694). Теоретично, підвищення тиску в реакторі

інколи і в реакторі. Висновок: н-бутан в газовій суміші з пропаном виступає в ролі баласту сповільнюючи процесу синтезу гідрату пропану.

Температура води. Для створення необхідної температури води при якій швидкість гідратуутворення максимальна в дослідах застосовувалася вода з льодом при температурі 0°C. В результаті дроселювання газу ефект Джоуля-Томпсона призводить до зниження його температури-спостерігається ефект обмерзання, який призводить до миттєвого зменшення витрат газу через насадку. Спостереження показали, при обмерзанні насадки утворюється капіляр з льоду довжиною 5-6 мм. Витрати газу при цьому різко зменшуються, мікробульбашки перестають утворюватися, а газ виходить у воду бульбашками розміром 1-3 мм.

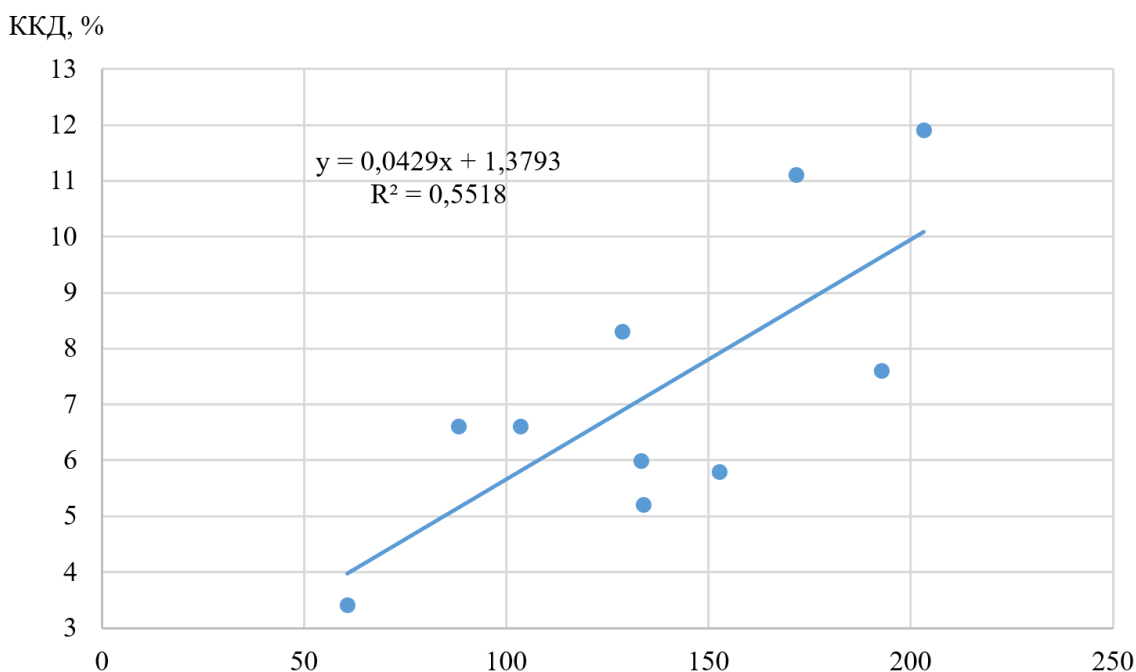


Рис.3.23 – Вплив швидкості газової суміші на виході з насадки (V_g) на ККД гідратуутворення

Експериментальні дослідження з різною температурою води показали, що при температурі води +2 °C обмерзання насадки відбувається не часто і за декілька хвилин насадка самостійно розмерзається.

Отже, для уникнення обмерзання насадки при максимально швидкому синтезу гідрату температура води в реакторі має підтримуватися на рівні +2...+3 °C.

становить 0...+5°C. Тому для проведення досліду реактор доводилося ззовні підігрівати.

7. При дотриманні оптимальних термобаричних умов синтез гідрату на поверхні кристалів льоду може бути основою для перспективної технології промислового отримання газогідратів.

						<i>601-НТ.11393307.МР</i>	Арк.
<i>Зм.</i>	<i>Лист</i>	<i>Арк.</i>	<i>№ док.</i>	<i>Підпис</i>	<i>Дата</i>		80

27. Synthesis of mixed methane-ethylene hydrate with ice powder. – Режим доступу: <https://www.sciencedirect.com/science/article/pii/S266651902200022X>
28. В. Кутній Results of experimental studies into the dynamics of mass-exchange processes during synthesis of propane hydrate. / Kutnyi B., Pavlenko A., Holik Y. // Eastern-European Journal of Enterprise Technologies. 4. 2019. – P.16-24.
– Режим доступу: <https://journals.uran.ua/eejet/article/view/174555>
29. А. Павленко A study of phase transition processes features in liquid-gas systems / Pavlenko A., Kutnyi B., Abdullah N. // Eastern-European Journal of Enterprise Technologies. 4/5 (88) 2017. P. 43–50. – Режим доступу: <https://journals.uran.ua/eejet/article/view/108535>
30. Розроблення методу підвищення технологічної та екологічної ефективності видобування газу з гідратних родовищ. – Режим доступу: <https://media.neliti.com/media/publications/306735-a-method-developed-to-increase-technolog-77b245f1.pdf>
31. New hydrate formation methods in a liquid-gas medium. – Режим доступу: <https://pmc.ncbi.nlm.nih.gov/articles/PMC5241679/>
32. Аналіз основних умов утворення зон можливого гідратоутворення. – Режим доступу: <http://elar.nung.edu.ua/bitstream/123456789/5967/1/6567p.pdf>

ДОДАТКИ

Додаток А

Теплофізичні характеристики холодоагента R134a у стані насичення

$t, \text{ }^\circ\text{C}$	$c_p', \text{ кДж/(кг}\cdot\text{К)}$	$c_p'', \text{ кДж/(кг}\cdot\text{К)}$	$\lambda' \cdot 10^4, \text{ Вт/(м}\cdot\text{К)}$	$\lambda'' \cdot 10^3, \text{ Вт/(м}\cdot\text{К)}$	$\eta' \cdot 10^6, \text{ Па}\cdot\text{с}$	$\eta'' \cdot 10^6, \text{ Па}\cdot\text{с}$	$\sigma \cdot 10^3, \text{ Н/м}$
-100	1,1842	0,5932	1370	—	981	—	—
-90	1,1892	0,6473	1330	—	820	—	—
-80	1,1981	0,6416	1285	—	691	—	—
-70	1,2096	0,6665	1245	7,47	586	—	—
-60	1,2230	0,6923	1204	8,02	499	—	—
-50	1,2380	0,7196	1163	8,60	415	—	—
-40	1,2546	0,7490	1120	9,19	334	—	17,60
-30	1,2728	0,7808	1077	9,82	278	9,71	16,04
-20	1,2930	0,8155	1030	10,5	226	10,16	14,51
-10	1,3155	0,8543	983	11,2	199	10,59	13,01
0	1,3410	0,8972	943	11,9	169	11,02	11,56
10	1,3703	0,9454	920	12,7	149	11,46	10,14
20	1,4048	1,0006	860	13,5	135	11,91	8,76
30	1,4464	1,0654	820	14,4	122	12,38	7,42
40	1,4984	1,1445	781	15,4	109	12,89	6,13
50	1,5661	1,2460	742	16,5	96	13,47	4,89
60	1,6601	1,3868	704	17,7	80	14,15	3,72
70	1,8039	1,6050	662	19,2	69	15,04	2,61
80	2,0648	2,0122	625	23,6	—	16,31	1,60

Загальна характеристика холодильних агентів

Хладагент	Химическая формула	$M, \text{ кг/кмоль}$	$T_{\text{нк}}, \text{ К}$	$T_{\text{кр}}, \text{ К}$	$P_{\text{кр}}, \text{ МПа}$	$\rho_{\text{кр}}, \text{ кг/м}^3$	$R, \text{ кДж/(кг}\cdot\text{К)}$
R11	CFCl ₃	137,368	296,95	471,15	4,381	570,2	0,06053
R12	CF ₂ Cl ₂	120,914	243,35	385,15	4,131	533,2	0,06876
R22	CHF ₂ Cl	86,469	232,35	369,28	4,986	512,8	0,09616
R23	CHF ₃	70,014	191,05	299,09	4,835	525,1	0,11876
R32	CH ₂ F ₂	52,024	221,45	351,25	5,780	424,65	0,15981
R113	C ₂ F ₃ Cl ₃	187,376	320,75	487,30	3,414	576,4	0,04437
R123	C ₂ HF ₃ Cl ₂	152,931	301,05	456,85	3,67	553,0	0,05436
R125	C ₂ HF ₅	120,022	225,05	339,45	3,63	529,0	0,06927
R134a	C ₂ H ₂ F ₄	102,031	247,05	374,25	4,06	538,5	0,08148
R152a	C ₂ H ₄ F ₂	66,051	249,15	386,45	4,52	365,0	0,12587
RC318	C ₄ F ₈	200,031	267,18	388,47	2,780	549,9	0,04156
R290	C ₃ H ₈	44,094	231,05	369,95	4,264	225,0	0,18856
R600a изобутан	C ₄ H ₁₀	58,12	261,35	408,15	3,65	—	0,14305
R744 (диоксид углерода)	CO ₂	44,011	194,76	304,20	7,383	468,0	0,18892
R717 (аммиак)	NH ₃	17,03	239,85	406,15	11,42	235,0	0,48816
R718 (вода)	H ₂ O	18,02	373,15	647,35	22,10	512,8	0,46138

Фізичні властивості фреону R134a

						<i>601-НТ.11393307.МР</i>	Арк.
Зм.	Лист	Арк.	№ док.	Підпис	Дата		86

Тиск пари, густина і поверхневий натяг на лінії рівноваги рідина-газ

$t, ^\circ\text{C}$	$p, \text{МПа}$	$\rho', \text{кг/м}^3$	$\rho'', \text{кг/м}^3$	$\sigma, \text{мН/м}$
-70	0,0077	1453	0,470	23,1
-60	0,0155	1424	0,902	21,4
-50	0,0289	1395	1,615	19,8
-40	0,0506	1366	2,727	18,2
-30	0,0838	1336	4,382	16,6
-20	0,1325	1306	6,745	15,1
-10	0,2010	1276	10,01	13,6
0	0,2939	1244	14,41	12,1
10	0,4165	1211	20,21	10,7
20	0,5741	1178	27,74	9,24
30	0,7725	1142	37,41	7,86
40	1,018	1105	49,80	6,52
50	1,317	1064	65,69	5,22
60	1,677	1020	86,33	3,98
70	2,108	969,8	113,8	2,81
80	2,619	909,6	152,5	1,75
90	3,225	828,8	213,5	0,83
100	3,942	720,1	378,0	0,10

- Відносна молекулярна маса 102,031
- Температура плавлення, $^\circ\text{C}$ -101
- Температура кипіння, $^\circ\text{C}$ -26,5
- Критична температура, $^\circ\text{C}$ 101,5
- Критичний тиск, МПа 4,06
- Критична густина, кг/м^3 538,5

Калотичні властивості на лінії рівноваги рідина - пар

$t, ^\circ\text{C}$	$r, \text{кДж/кг}$	$h', \text{кДж/кг}$	$h'', \text{кДж/кг}$	$s', \text{кДж/(кг}\cdot\text{К)}$	$s'', \text{кДж/(кг}\cdot\text{К)}$	$c'_{p, \text{кДж/(кг}\cdot\text{К)}$	$c''_{p, \text{кДж/(кг}\cdot\text{К)}$
-70	244,2	300,2	544,4	3,0568	4,2624	1,246	0,664
-60	238,1	312,7	550,8	3,1171	4,2370	1,264	0,688
-50	231,8	325,5	557,3	3,1754	4,2167	1,279	0,713
-40	225,5	338,3	563,8	3,2318	4,2006	1,294	0,739
-30	219,0	351,3	570,3	3,2863	4,1880	1,308	0,767
-20	212,3	364,5	576,8	3,3393	4,1782	1,323	0,796
-10	205,3	377,8	583,1	3,3907	4,1706	1,339	0,829
0	197,9	391,4	589,3	3,4408	4,1649	1,358	0,864
10	190,1	405,1	595,2	3,4898	4,1606	1,380	0,904
20	181,9	419,0	600,9	3,5377	4,1572	1,406	0,949
30	172,9	433,2	606,2	3,5849	4,1544	1,439	1,002
40	163,2	447,8	611,0	3,6314	4,1518	1,482	1,066
50	152,5	462,8	615,3	3,6777	4,1488	1,537	1,149
60	140,4	478,4	618,8	3,7241	4,1448	1,618	1,262
70	126,3	494,7	621,1	3,7712	4,1387	1,747	1,438
80	109,1	512,3	621,5	3,8208	4,1287	1,989	1,773
90	85,8	532,3	618,1	3,8741	4,1100	2,649	2,747
100	53,6	545,1	598,7	3,8934	4,0503	-	-

В'язкість та теплопровідність на лінії рівноваги рідина-пар

$t, ^\circ\text{C}$	$\eta', \text{мкПа}\cdot\text{с}$	$\eta'', \text{мкПа}\cdot\text{с}$	$\lambda', \text{мВт}/(\text{м}\cdot\text{К})$	$\lambda'', \text{мВт}/(\text{м}\cdot\text{К})$
-70	781	8,03	128,6	7,47
-60	664	8,43	122,0	8,02
-50	570	8,84	115,9	8,60
-40	492	9,25	110,4	9,19
-30	425	9,74	105,2	9,82
-20	369	10,2	100,3	10,5
-10	322	10,7	95,7	11,2
0	282	11,2	91,3	11,9
10	249	11,7	87,1	12,7
20	220	12,2	83,1	13,5
30	195	12,7	79,1	14,4
40	172	13,2	75,1	15,4
50	152	13,8	71,1	16,5
60	134	14,5	67,1	17,7
70	116	15,3	62,8	19,2
80	99,5	16,5	61,8	23,6
90	82,2	18,4	61,3	31,3
100	61,9	21,7	-	-

Інші фізичні властивості

- Стандартна теплота утворення ΔH_{298} , кДж/моль – 923;
- Теплота випаровування при температурі кипіння, кДж/моль 21,26;
- Дипольний момент, Кл·м $6,865 \cdot 10^{-3}$.

0	0.29280	1294.8	0.06931	200.00	398.60	1.0000	1.7271	1.341	0.897	1.179	622	146.9	271.1	10.73	92.0	11.51	11.56	0
2	0.31462	1288.1	0.06466	202.69	399.77	1.0098	1.7260	1.347	0.906	1.182	612	146.9	264.3	10.81	91.1	11.69	11.27	2
4	0.33766	1281.4	0.06039	205.40	400.92	1.0195	1.7250	1.352	0.916	1.185	603	146.8	257.6	10.90	90.2	11.86	10.99	4
6	0.36198	1274.7	0.05644	208.11	402.06	1.0292	1.7240	1.358	0.925	1.189	594	146.7	251.2	10.98	89.4	12.04	10.70	6
8	0.38761	1267.9	0.05280	210.84	403.20	1.0388	1.7230	1.364	0.935	1.192	585	146.5	244.9	11.06	88.5	12.22	10.42	8
10	0.41461	1261.0	0.04944	213.58	404.32	1.0485	1.7221	1.370	0.945	1.196	576	146.4	238.8	11.15	87.6	12.40	10.14	10
12	0.44301	1254.0	0.04633	216.33	405.43	1.0581	1.7212	1.377	0.956	1.200	566	146.2	232.9	11.23	86.7	12.58	9.86	12
14	0.47288	1246.9	0.04345	219.09	406.53	1.0677	1.7204	1.383	0.967	1.204	557	146.0	227.1	11.32	85.9	12.77	9.58	14
16	0.50425	1239.8	0.04078	221.87	407.61	1.0772	1.7196	1.390	0.978	1.209	548	145.7	221.5	11.40	85.0	12.95	9.30	16
18	0.53718	1232.6	0.03830	224.66	408.69	1.0867	1.7188	1.397	0.989	1.214	539	145.5	216.0	11.49	84.1	13.14	9.03	18
20	0.57171	1225.3	0.03600	227.47	409.75	1.0962	1.7180	1.405	1.001	1.219	530	145.1	210.7	11.58	83.3	13.33	8.76	20
22	0.60789	1218.0	0.03385	230.29	410.79	1.1057	1.7173	1.413	1.013	1.224	520	144.8	205.5	11.67	82.4	13.53	8.48	22
24	0.64578	1210.5	0.03186	233.12	411.82	1.1152	1.7166	1.421	1.025	1.230	511	144.5	200.4	11.76	81.6	13.72	8.21	24
26	0.68543	1202.9	0.03000	235.97	412.84	1.1246	1.7159	1.429	1.038	1.236	502	144.1	195.4	11.85	80.7	13.92	7.95	26
28	0.72688	1195.2	0.02826	238.84	413.84	1.1341	1.7152	1.437	1.052	1.243	493	143.6	190.5	11.95	79.8	14.13	7.68	28
30	0.77020	1187.5	0.02664	241.72	414.82	1.1435	1.7145	1.446	1.065	1.249	483	143.2	185.8	12.04	79.0	14.33	7.42	30
32	0.81543	1179.6	0.02513	244.62	415.78	1.1529	1.7138	1.456	1.080	1.257	474	142.7	181.1	12.14	78.1	14.54	7.15	32
34	0.86263	1171.6	0.02371	247.54	416.72	1.1623	1.7131	1.466	1.095	1.265	465	142.1	176.6	12.24	77.3	14.76	6.89	34
36	0.91185	1163.4	0.02238	250.48	417.65	1.1717	1.7124	1.476	1.111	1.273	455	141.6	172.1	12.34	76.4	14.98	6.64	36
38	0.96315	1155.1	0.02113	253.43	418.55	1.1811	1.7118	1.487	1.127	1.282	446	141.0	167.7	12.44	75.6	15.21	6.38	38
40	1.0166	1146.7	0.01997	256.41	419.43	1.1905	1.7111	1.498	1.145	1.292	436	140.3	163.4	12.55	74.7	15.44	6.13	40
42	1.0722	1138.2	0.01887	259.41	420.28	1.1999	1.7103	1.510	1.163	1.303	427	139.7	159.2	12.65	73.9	15.68	5.88	42
44	1.1301	1129.5	0.01784	262.43	421.11	1.2092	1.7096	1.523	1.182	1.314	418	138.9	155.1	12.76	73.0	15.93	5.63	44
46	1.1903	1120.6	0.01687	265.47	421.92	1.2186	1.7089	1.537	1.202	1.326	408	138.2	151.0	12.88	72.1	16.18	5.38	46
48	1.2529	1111.5	0.01595	268.53	422.69	1.2280	1.7081	1.551	1.223	1.339	399	137.4	147.0	13.00	71.3	16.45	5.13	48
50	1.3179	1102.3	0.01509	271.62	423.44	1.2375	1.7072	1.566	1.246	1.354	389	136.6	143.1	13.12	70.4	16.72	4.89	50
52	1.3854	1092.9	0.01428	274.74	424.15	1.2469	1.7064	1.582	1.270	1.369	379	135.7	139.2	13.24	69.6	17.01	4.65	52
54	1.4555	1083.2	0.01351	277.89	424.83	1.2563	1.7055	1.600	1.296	1.386	370	134.7	135.4	13.37	68.7	17.31	4.41	54

Зм.	Лист	Арк.	№ док.	Підпис	Дата

601-НТ.11393307.МР

Арк.

92

END SUB

SUB zbugenna (P1, P2, rog, Vg, T1, T2)

k = kap * Xp + kab * (1 - Xp)

P2 = P1 - .25 * Vg ^ 2 * rog

T2 = T1 * (P2 / P1) ^ ((k - 1) / k)

END SUB

						<i>601-HT.11393307.MP</i>	Арк.
Зм.	Лист	Арк.	№ док.	Підпис	Дата		99